

الفصل السابع

استقرارية المركبات المعقدة

(Stability of Complex Compounds)

١-٧

يمكن اعتبار عملية التسامق بين ليكائد معيناً وأيون فلز معين لغرض تكوين مركب بسيط أو مركب معقد، بناءً على تفاعل حامض — قاعدة. وعلى العموم أنَّ ازدياد قاعدية الليكائد أو ازدياد حامضية أيون الفلز أو ازديادهما معاً يؤدي إلى ازدياد استقرارية المركب المعقد المتشكل. ولقد درسنا في الفصل الرابع (نظريَّة الجمال الليكائدي) مواصفات العامة لآيونات الفلزات المختلفة والليكائدات التي تسهم في استقرارية المركبات المعقدة.

استعمال مصطلح «مستقر» stable، لا زال يستعمل في عدد من المعانٍ والدلائل المختلفة. إن مجرد قولنا «مركب معقد مستقر» لا يعطي تحديداً معيناً لما تعنيه الكلمة؟ مستقر؟ أذ يمكن أن يعطي هذا المصطلح تأويلات مختلفة. وحيثما يستعمل هذا المصطلح لرُكِّب ما دون ذكر مواصفات أو تفصيلات أخرى فإنَّ المعنى الأقرب إلى ذهننا لهذا المصطلح هو أنَّ هذا المركب تحت ظروف ملائمة يمكن الاحتفاظ به وتخزينه لمدة قد تكون طويلة. تفضي الضرورة بعدم تعيين هذا المصطلح

أ - دراسة تحرير المركبات المعقّدة (التي قد تكون مستقرة أو غير مستقرة) (١)

على المركبات المعقّدة، لأن مركباً معيناً قد يكون مستقراً نحو كاشف معين وقد يتجرأ باستعمال كاشف آخر. ويتم استعمال هذا المصطلح ليعني استقرارية المركب نحو التجزؤ الحراري أو نحو التأثير الضوئي أو نحو تأثير المذيبات المختلفة أو نحو الأكسد والانحراف.

إن مصطلح «مستقر» حينما يطبق على المركبات المعقّدة يعني عادة أن المركب المعد المعنى يقاوم تفاعلات التعويض عن ليكانياته بليكانيات أخرى. فعلى سبيل المثال بعد المعد $[Fe(CN)_6]^{4-}$ مستقراً في محلول الماء، وذلك لأن الماء لا يستطيع (او لها ميل ضعيف جداً) ان تزعج ليكانيات CN^- من كسر التوازن. ومع ذلك، يولد استعمال هذا المصطلح بعض الغموض فيما يخص نوع الاستقرارية التي تعيّنها.

ـ عند دراسة تكوين المركبات المعقّدة في محلول تصادف توقيع من الاستقرارية وهمـ.

ـ 1 - الاستقرارية термодинамическая (Thermodynamic stability): وهي عبارة عن مقياس مدى تكون مركب معين او مدى تحوله الى مركب اخر عند ظروف معينة وفي حالة التوازن. وبعبارة اخرى، هي الاستقرارية термодинамическая وبالبعد الذي تحصل فيه حالة التوازن. ومن الواضح التي تتصل بهذه الاستقرار: ذكر ثبات تكوين المقدّمات وطاقة اصرة فلز - ليكاند، وغيرهما من المواضيع الأخرى.

ـ 2 - الاستقرارية الحركية (kinetic stability): يشير هذا الترجمة من الاستقرارية الى سرعة بلوغ حالة التوازن الناتج تكون مركب معين او تحوله الى مركب اخر او غيرهما من عمليات التحليل الأخرى. والمواضيع التي تتصل بهذه الاستقرارية هي تحمل سرعة التفاعلات الكيميائية وmekanikische التفاعلات الكيميائية المختلفة، اضافة الى المتغيرات الفيزيائية المشحونة في تكوين المركبات الوسطية والمعقدات المنشطة.

خرج احياناً بشكل يؤول الى الغموض بين استعمال مصطلح «مستقر» و المصطلح «نحيل» (inert) من جهة وبين استعمال مصطلح «غير مستقر» (unstable) و المصطلح «فعال» (labile) من جهة اخرى. اتفقاً للمفهوم

الترموداينيكي يفضل استعمال مصطلح «مستقر وغير مستقر». ووفقاً للمفهوم الحركي يفضل استعمال مصطلح «حامض وفعال»، وإن لا يخرج بين استعمال هذه المصطلحات بشكل ينزو إلى المفهوم أو المفهوم المعاكس. فالمركب ذو الاستقرار الترموداينيكي قد يكون خاماً (بتفاعل بطيء أو لامتصال) أو قد يكون فعالاً (بتفاعل سريعة). وبغير آخر، لا يشترط في المركب ذي الاستقرار الترموداينيكي أن يكون مستقراً حركيًا فعل سبيل المثال، نلاحظ معدل سرعة استبدال أيون CN^- في المقدادات المينة في الجدول 1-7.

الجدول 1-7 معدل سرعة استبدال أيون CN^-

المقداد	ثابت التحلل	معدل سرعة الاستبدال
$[\text{Ni}(\text{CN})_4]^{2-}$	10^{-30}	سرع جداً
$[\text{Mn}(\text{CN})_6]^{3-}$	10^{-27}	قابل للقياس
$[\text{Fe}(\text{CN})_6]^{4-}$	10^{-37}	بطيء جداً
$[\text{Hg}(\text{CN})_4]^{2-}$	10^{-42}	سرع جداً
$[\text{Fe}(\text{CN})_6]^{3-}$	10^{-44}	بطيء جداً

إن هذه المقدادات يجيئها ذات استقرار ترموداينيكي (ثوابت تحملها صيغة) غير أن الدين من هذه المركبات بفاعليان بسرعة وهذا وفقاً للمفهوم الحركي مركبان متعالان labile . يدل العكس من ذلك بالاحظ أن المركب $[\text{Co}(\text{NH}_3)_6]^{3+}$ في البيط الخامضي عدم الاستقرار الترموداينيكي (ذلك لأنه يتجزأ إلى $\text{N}_2, [\text{Co}(\text{H}_2\text{O})_6]^{2+}, \text{NH}_4^+$)

غير أنه يقوم هذا التجزء في الوسط الخامضي لعدة أسباب، وهو منها يد نحاً inert وفق المفهوم الحركي. يتضمن الفصل الذي يلي هذا الفصل استعمال مصطلح حامل وفعال ومبررات استعمالهما.

يعبر عن استقرارية المركبات المعقده عادة بدلالة ثابت التكثفين الكلى K_{f} (يسمى أيضاً ثابت الاستقرارية الكلية) أو بدلالة ثابت التكثفين المترافق

(وتسنّم أيضاً ثوابت الاستقرار المتعاقبة) .

٢-٧ ثوابت الاستقرارية (Stability Constants)

عند وضع أيون فلز M^{y+} مع ليكائد بمعادلة L في محلول واحد ، يحصل من عمليات التوازن التي تؤدي إلى تكون المعقد MLn^{y+}



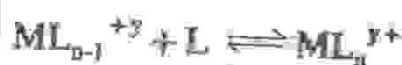
$$K_1 = \frac{[ML^{y+}]}{[M^{y+}][L]}$$



$$K_2 = \frac{[ML_2^{y+}]}{[ML^{y+}][L]}$$



$$K_{n-1} = \frac{[ML_{n-1}^{y+}]}{[ML_{n-2}^{y+}][L]}$$



$$K_n = \frac{[ML_n^{y+}]}{[ML_{n-1}^{y+}][L]}$$

K_1 و K_2 و K_n هي ثوابت التكوين المتعاقبة . و n تمثل عدد الشاسيت لايون الفلز ، والأقواس المربيعة تشير إلى فعاليات الفصائل المخصوصة في داخلها . ويمكن أيضاً تحويل تكون المعقد ML_n^{y+} بالمعادلة الآتية .



$$K_{\text{total}} = \frac{[ML_n^{y+}]}{[M^{y+}][L]^n}$$

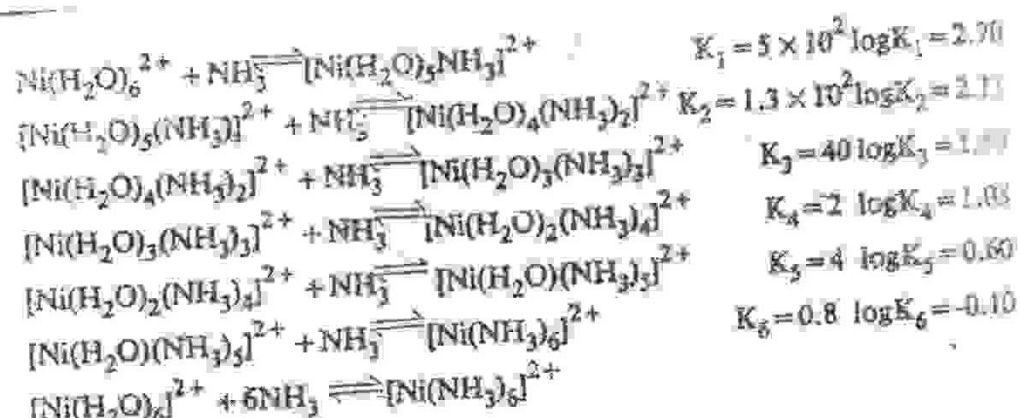
ثابت التوازن لهذا التفاعل ، k يدعى ثابت التكوين الكلي أو ثابت الاستقرارية

الكلٌّ، ويشار إليه أيضًا بالحرف β_n (للدلالة على ثابت التكوين الفوضائي الميكانيكي)،
يعبر عن ثبات التكوين المتعاقبة ثابت التكوين الكلٌّ بدلاً لثبات التكوين الميكانيكي.

$$K = \beta_n = K_1 K_2 \dots K_n$$

$$\begin{aligned} \beta_n &= \frac{[ML^{y+}]}{[M^{y+}][L]} \times \frac{[ML_2^{y+}]}{[ML^{y+}][L]} \times \dots \times \frac{[ML_n^{y+}]}{[ML_{n-1}^{y+}][L]} \\ &= \frac{[ML_n^{y+}]}{[M^{y+}][L]^n} \\ &\quad \text{---} \\ &\quad \frac{n}{n} = \overline{k_n} \\ &\quad \beta_n = \sum_{n=1}^{\infty} k_n \end{aligned}$$

لاحظ أن قيمة ثابت التكوين الكلٌّ تساوي حاصل ضرب ثبات التكوين المتعاقبة. وهذا يعني أن قيمة ثابت التكوين الكلٌّ، يعتقد معين ثالٌف من تلك ثباتات التكوين المتعاقبة (عدد الخطوات تساوي عدد التأثير). فهل سهل إثبات ثالٌف عملية تكوين العدد 2^+ $Ni(NH_3)_6$ من ست خطوات، وهذه الخطوات مع ثابت التكوين لكل خطوة ثبات التكوين الكلٌّ هي.



$$\begin{aligned} \beta_n &= K_1 K_2 \dots K_n \\ &= 9.93 \times 10^7 \end{aligned}$$

$$\log \beta_n = \log K_1 + \log K_2 + \dots + \log K_n$$

يلاحظ أن قيمة $\log k_s$ تساوي كمية سالبة (-0.10). وهذه القبضة السالبة تبين أن المعدن $[Ni(H_2O)_6]^{2+}$ يأخذ من الناحية термодинамическая على المعدن $[Ni(NH_3)_6]^{2+}$.

وكلقاعدة عامة تقع قيم ثوابت التكروين المتزايدة فوق التسلسل

$$k_1 > k_2 > k_3 \dots k_n$$

والقيمة الأعلى لثابت التكروين تدل على الاستقرارية الأعلى للمعدن المعطى. يستعمل في بعض الأحيان معكوس ثابت التكروين $1/k$. وسيبي ثابت عدم الاستقرارية أو ثابت التحلل وهو يمثل التفاعل الراهن \rightarrow عملية التوازن. فكلما كانت قيمة $1/k$ كبيرة يكون المعدن أقل استقرارا.



مثال ١-٧

في أحد التجارب التي أجريت على نظام $Ni^{2+}-NH_3$ عند درجة حرارة 30 مئوية حصل على ثوابت الاستقرارية المتزايدة الآتية (بدلالة لمغاريمها الاعتبارية) وهي نتائج مقاربة للنتائج المذكورة عن هذا النظام أعلاه.

$\log k_1$	$\log k_2$	$\log k_3$	$\log k_4$	$\log k_5$	$\log k_6$
2.67	2.12	1.61	1.07	0.69	-0.09

- (أ) لماذا تتناقص قيم K_s المتزايدة.
- (ب) ما هو مدلول القيمة السالبة لثابت التكروين K_s .
- (ج) ما هي قيمة ثابت التكروين الكلي K .
- (د) ما هي النتائج الأربعية الفعلية المشعرة بالتوازن الذي يصاحب K_s .
- (هـ) ما مقدار تبدل الطاقة الحرجة القياسية للتفاعل الآتي ؟



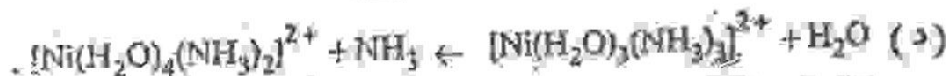
الأجوبة:

- (أ) إن كلًا العوامل (الاحصائية والفراغية - الخواص - بالاتجاه) تساهم

تغيرات الانترالبي ($\Delta S_{\text{int}} = \Delta S_{\text{p}} + \Delta S_{\text{m}}$). وتغيرات الانترالبي عادة هي السبب الرئيسي في تغير قيم K_{eq} المعاكبة.

(ب) ان معقد $\text{Ni}(\text{NH}_3)_5^{2+}$ يبعد من الناحية الترموديناميكية على المعقد

$$\beta_6 = \sum_{n=1}^6 k_n = 8.01 \quad (\text{ج})$$



$$\Delta G^\circ = -RT\ln \beta_4 = -2.303 \times 1.987 \times 303 \times 7.47 \\ = -10.36 \text{ Kcal mol}^{-1}$$

مثال 2-7

(أ) من البيانات الواردة في المثال 1-7، باحسب قيم ثوابت الاستقرارية المناسبة لنظام $\text{Ni}^{2+}-\text{NH}_3$ عند تضاف جزءات امونيا في كل خطوة، لدلك ابضاً ثوابت الاستقرارية المعاكبة (بدالة الملوغاريتم الاعتباري) الآتية لنظام $\text{Ni}^{2+}-\text{en}$ عند درجة حرارة 30 مئوية. كيف تقارن ثوابت الاستقرارية في النظائر؟

$\log K_1$	$\log K_2$	$\log K_3$
7.28	6.09	4.20

(ب) احسب تبدل الطاقة الحرارة القياسي للتفاعل الآتي في المحلول (الماء)



(ج) ان تغير الانطالجي القياسي للتفاعل المذكور في الفرع بـ $\Delta H^\circ = -6 \text{ kcal mol}^{-1}$. ليجا يسهم اكثر في تغير الطاقة الحرارة، اهدر تغير الانطالجي ام تغير الانترالبي القياسي. كيف تفسر الشارة تغير الانترالبي؟



ان قيم ثوابت الاستقرارية لنظام $\text{Ni}^{2+}\text{-en}$ اكبر كثيراً مما عليه في نظام $\text{Ni}^{2+}\text{-NH}_3$ (بإضافة جزيئين NH_3 في كل معلقة). ان التأثير الكيلويتي هنا هو خاصية عامة وهو يعزى جزئياً الى تغيرات الانتروبي المحسنة في نظام $\text{Ni}^{2+}\text{-en}$.

$$(b) \text{ لنظام } \text{Ni}^{2+}\text{-NH}_3 \quad B_6 = 8.01$$

$$\text{لنظام } \text{Ni}^{2+}\text{-en} \quad B_3 = 17.57$$

ان كلا المقددين $\text{Ni}(\text{en})_6^{2+}$ و $\text{Ni}(\text{NH}_3)_6^{2+}$ موجودان في معلقة مع الـ Ni^{2+} في تبرير قياس ثوابت تكوينهما يمكن مقارنتهما مباشرة

$$\Delta G^\circ = -2.303 \times 1.987 \times 303 (17.57 - 8.01)$$

$$= -13.26 \text{ kcal mol}^{-1}$$

(ج) عند درجة 30 مئوية او 303° مطلقة

$$-13.26 = -6000 \Delta S^\circ$$

واضح ان حد الاستقرارية هو الاكبر و $\Delta S^\circ = +24 \text{ eu}$. وهذا التغير في الانتروبي (الموجب الكبير) يمكن مصروفها بقيمة S° كبيرة لجزيئات الايونواست، التي تزاح بواسطة ثلاثة جزيئات en.

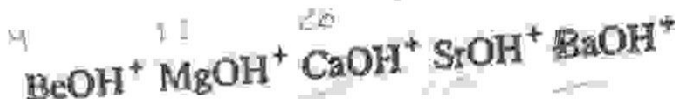
3-3 العوامل المؤثرة في استقرارية المركبات المعقده

يثر في استقرارية المركبات المعقده عده عوامل يتعلق بعضها بطبيعة ايون الفلز و يتعلق البعض الآخر بطبيعة الليكائند.

3-3-1 تأثير ايون الفلز

ان استقرارية المقدادات التي تكونها الفلزات المختلفة تخضع لأنباءات متناسبة الى حد ما كالتاليات التي تشمل تأثيرات حجم الايون الفلزي و شحنته، وعلى الرغم من اختلاف ميول الفلزات في تكوين المقدادات مع الليكائندات المختلفة، فهناك بعض الابهامات المقيدة في تفسير استقرارية المركبات المعقده، وفي حالة

الإيونات الفلورية ذات الشحنة المعاكسة والحجم المختلف يلاحظ أن الإيونات ذات الحجم الأصغر تولد مجالاً كهربائياً أكبر، وبالتالي فهي تكون مركبات أكثر استقراراً. لاحظ على مثال تسلسل استقرارية المقدادات الآتية (الإيونات فلورية ذات شحنة موجبة متساوية وحجم مختلف)



ازدياد حجم ليون الفلور
→
نقصان استقرارية المقدادات
→
نقصان قيمة K

وفي حالة الإيونات الفلورية ذات الحجم المتساوي تقريباً والشحنات المختلفة، يلاحظ أن الإيونات ذات الشحنة الموجبة الأكبر تسلط في الحال الكهربائي أكبر، وبالتالي فهي تكون مركبات أكثر استقراراً. لاحظ على مثال استقرارية ازواج المركبات الآتية.

M



حجم ليون الفلور متسلٍٰ تقريباً
نقصان الاستقرارية
→
نقصان قيمة K



نقصان الاستقرارية
→
نقصان قيمة K

يمحصل على نسبة [الشحنة / نصف القطر] من دفع عامل الحجم والشحنة ما. وهذه العلاقة مهمة جداً في تقرير استقرارية المركبات المعقادة. إن القيمة الأكبر لهذه النسبة تعني استقرارية أكبر للمركب المعدن المعنى. لأخذك على مثال المثال زنات M^{2+} للسلسلة الانتقالية الأولى. نعلم أن نصف القطر الأول يختلف بغير سلسلة. وهذا لأن النسبة [الشحنة / نصف القطر] تزداد بغير السلسلة، وبالتالي

تردد استقرارية المركبات المعقدة الناتجة . يسمى تسلسل الاستقرارية الاتي بالسلسل الطبيعى للاستقرارية .



ان هذا التسلسل في الاستقرارية لا يعتمد على نوع الليكائد المستعمل فعل بسيط المثال ان استقرارية المركبات المعقدة لسلسلة الايونات المذكورة اعلاه هي ليكائد اثيلين ثانى امين $[\text{M}(\text{en})_3]^{2+}$ او $[\text{M}(\text{EDTA})]^{2-}$ تتبع نفس التسلسل المذكور اعلاه . ان الشروط الذي يلاحظ عند ايون Zn^{2+} سبب هرال تصف قطرة اكبر من انصاف قطر اقطار بقية ايونات السلسلة .)

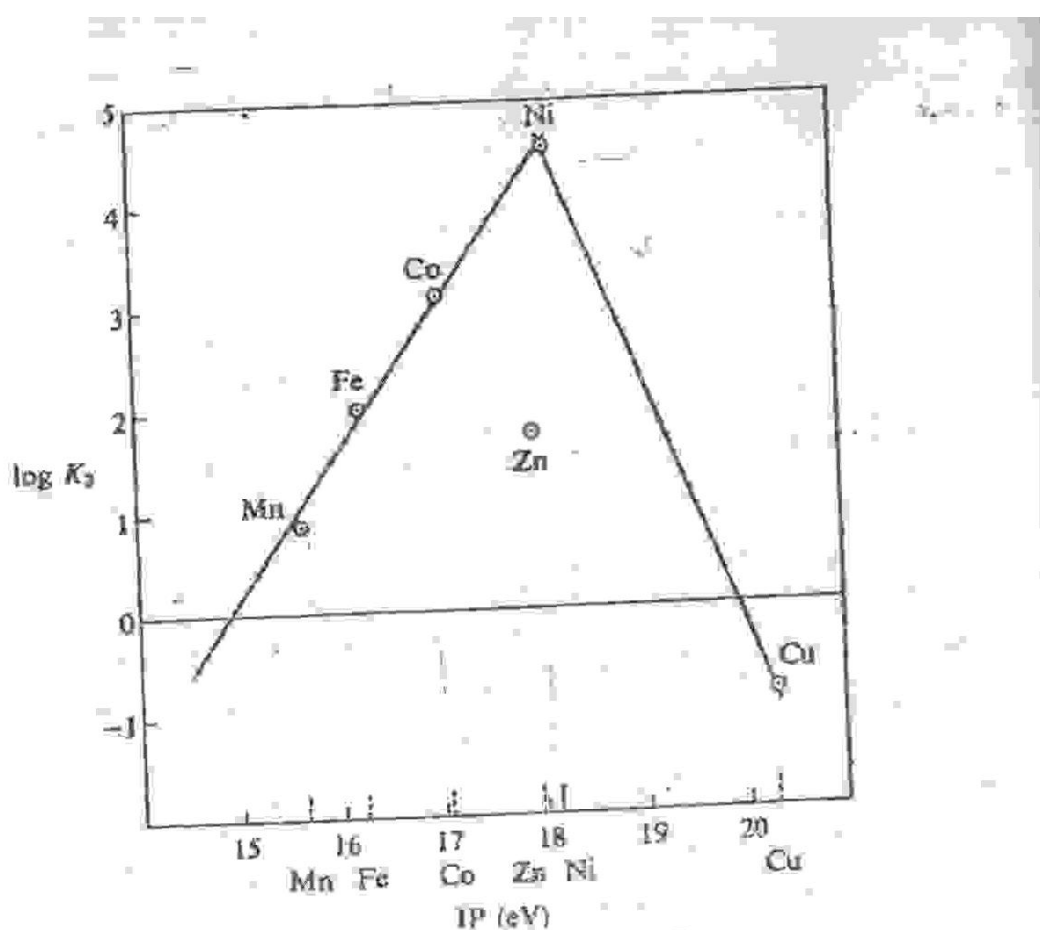
(ج) يمكن ايضاً ربط الاستقرارية بالكتيرو سالبية وطاقات الثاني للاثيونان الذلولية المركبة ، كان يوحده بنظر الاختيار طاقة الثاني الثاني او مجموع طاقتي الفار الاول والثانى . ما ان كلما من هاتين الخاصيتين بعد مقياساً بلحباب الالكترونات يمكن الخواصها كوسيلة لتقرير ميل الفلزات لتكوين المركبات المعقدة السامة . في الشكل 1-7 علاقة طاقة الثاني الثاني ثابت تكوين المعقدات $[\text{M}(\text{en})_3]^{2+}$ لسلسلة ايونات $\text{Zn}^{2+} \rightarrow \text{Mn}^{2+}$. يلاحظ ان هذه العلاقة جيدة وتنسجم مع التسلسل الطبيعى للاستقرارية المذكورة اعلاه .

يلاحظ في الشكل 1-7 ان ايوني Cu^{2+} و Zn^{2+} يظهران شلولاً كبيراً فالقيمة السالبة التي نستخدمها $\log K_{\text{f}}$ للمعهد هو ان ايون Cu^{2+} هو ان ايون Zn^{2+} تحصل تكوين معقدات المربيع المستوى مثل $[\text{Cu}(\text{en})_2]^{2+}$ على المعقدات الثاني السطوح . والقيمة الواقعية التي نستخدمها $\log K_{\text{f}}$ لمعهد $[\text{Zn}(\text{en})_2]^{2+}$ تبين التفاعلات المؤدية الى تكوين هذا المعهد مختلف عن التفاعلات التي تم بين فن الايونات الموجبة مع اثيلين ثانى امين .

2-3-2 ثالثي الليكائد

على أساس التجاذب الكهروستاتيكي تكون ايونات الفلزات الكهروموجبية العالية معقدات هاليدية تقع استقراريتها حسب التسلسل الاتي





الشكل 7-7 علاقة طاقة الثاني بثابت تكوين المعقدات $[M(en)_3]^{2+}$

نحو أن عكس هذا التسلسل يلاحظ في استقرارية المركبات التي تكونها أيونات الفلزات القاطبة polarizing وكذلك القابلة للانفصال (Polarizable) مثل أيون Hg^{2+} . إن الفلزات ذات الكهروموجية العالية تفضل إلى حد كبير تكوين معقدات من أون F^- وبح ليكائدات واهية عن طريق الأوكسجين. وبنفسان كهروموجية العلر، يتزايد الميل لتكوين معقدات مستقرة مع ليكائدات واهية عن طريق الثنائيروجين. والفلزات ذات الكهرومجالية (أو ذات السلوك النبيل) تفضل التناصق مع S^- على التناصق مع O^- وتفضل التناصق مع P^- على التناصق مع N^- . وللفلزات النبيلة أيضاً ميل كبير جداً لتكوين معقدات مستقرة بتناصقها مع الأوليفيتات. نشير هنا إلى ما ذكرناه في الجزء 2-1 حول تصنيف الفلزات في الجدول الدوري وفقاً لقابلية تقبلها للإلكترونات من الليكائدات الواهية. وقد ذكرت أن الفلزات ذات الكهروموجية العالية (وهي فلزات الصنف p) لها القدرة العالية للأتماد مع بعض الليكائدات، وإن هذه القدرة تتناسب مع الصفات القاعدية للليكائد. تزداد

استقرار المقدرات بأزيد قاعدة البكالوريا، فعل سهل المثال تتحقق قاعدة
البكالوريا الآية وكذلك استقرار المقدرات التي تكونها وفق التسلسل الآتي



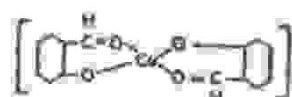
وعلينا أن البكالوريات الكيلوية مثل أيلين ثانٍ، أمون $\text{NH}_2\text{C}_2\text{H}_4\text{NH}_2$ ، أكثر قاعدة من البكالوريات الأحادية السن مثل NH_3 . وهكذا فإن استقرار المركبات المعدة الكيلوية تكون أكثر استقراراً من المقدرات الناتجة مع لـ لكانات احادية السن. وكلما ازداد عدد الحلقات الكيلوية يصبح المركب المعد أكثر استقراراً. لاحظ على سبيل المثال، ثوابت استقرار المقدرات الآية

$$[\text{Cu}(\text{NH}_3)_4]^{2+} \quad \log k = 11.9$$

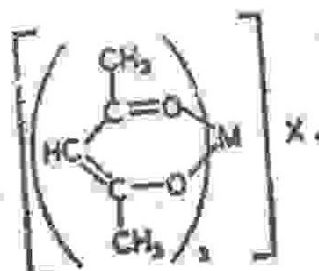
$$[\text{Cu}(\text{en})_2]^{2+} \quad \log k = 20.0$$

$$[\text{Cu}(\text{trien})]^{2+} \quad \log k = 20.5$$

إن الحلقات الكيلوية ذات الاستقرارية الأكبر هي عادة حلقات خماسية لأن أحدهى زوايا الأضلاع تساوي 90° في المقدرات المستوية أو في المقدرات الثنائية الستروخ. الحلقات الستانية غالباً ما تردد في المركبات العضوية، وهي تعطي مركبات معددة أكثر استقراراً من الحلقات الخامسة الإيقاعية. وعلى ذكر الاستقرارية الناتجة عن تأثير الكيلوي. يلاحظ مثلاً أن الفينول بمفرده وكذلك البنزالديوكسول بمفرده لا يكونان مركبات معددة مستقرة، غير إن أحادثها بما المثل، بمفردهة سالب الدبيايد يعطي مركبات مستقرة كثيرة بسبب الحلقات الكيلوية الناتجة.



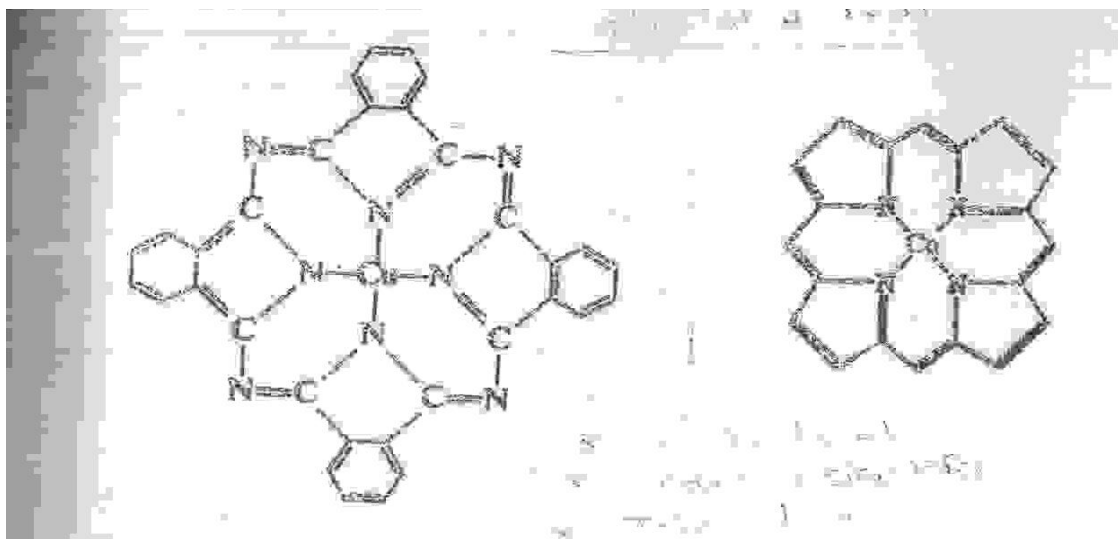
إن المقدرات التي ي تكونها الأسيتون قليلة الأهمية، لكن المقدرات المشتقة من أسيتون أسيتون شديدة الاستقرارية بحيث يمكن تخمير بعضها دون أن يتغيراً. تكتب استقرارية هذه المقدرات بدرجة رئيسية من تأثير الكيلوي.



$$M = \text{Ca}^{2+}$$

اضافة الى ما ذكرناه عن الحلقات الكيلية والتأثير الكيلاني وعما في الفصل الثاني نضيف فنقول ان التأثير الكيلاني هو يتصل بتأثير الانتروبي حين يصبح تأثير استقرارية الحال البلوري ذا الصفرة. بعد ان يتم اتصال العدلن بنايلتي جزيئه اثنين ثانوي امين بأيون الفلز المركزي، يزداد التركيز الفعال لبسويد NH_4^+ - (الهباية الثانية لجزيئه اثنين ثانوي امين) لأن حركة هذه المجموعات تصبح مقيدة وتقتصر على حجم صغير جداً في المنطقة المحيطة لأيون الفلز. وكل جزيئه اثنين امين تزعم جزئي ماء وهذا يزداد عدد الجسيمات الكلى في النظام ويزداد الانتروبي. ان جزيئه EDTA تكون معقدات مستقرة جداً مع بعض الابونات الفازية. تقام جزيئه EDTA بأحاطة وتغليف لأيون الفلز مزدوجة عدداً من جزيئات الماء اقصد سـت جزيئات متساوية، وهذا يزداد عدد الجسيمات الكلى في النظام بزيادة الانتروبي. ويزداد الانتروبي أيضاً نتيجة معادلة الشحنة في المكالد EDTA^- وأيون الفلز M^{2+} . ان معادلة الشحنة في مذيب قطبي مثل الماء تزيل جزءاً كبيراً من انتظام جزيئات المذيب حول الابونات في مذيب حول الابونات وهذا يؤدي الى زيادة الانتروبي.

هناك ليكائدات مثل بورفين (الفصل الثاني) او ثالرورجينات Phth-alocynins تتألف من حلقات متضمنة بعضها. وهذه الليكائدات تكون مolecules ذات استقرارية انتانية مع الابونات فلورية (مثل Cu^{2+}) تميل لتكوين مجموعات مستقرة. ان هذه الليكائدات تفرض التركيب المستقر على بعض الابونات (مثل Zn^{2+} , Be^{2+}) التي لا تميل الى تكوين مركبات مستقرة مع ليكائدات الحاذية السن.



7-3-3 عوامل أخرى

هناك عوامل أخرى تؤثر في استقرارية المركبات المقيدة. ومن بين العوامل:

1 - العوامل الخواص كالضغط ودرجة الحرارة، تؤثر دوراً هاماً في استقرارية بعض المركبات المقيدة. فعل سيل المثال أن المقدادات المحتوية على ليكانتات متطرفة (الآمونيا)، أثيلين ثانوي (أمين، الماء) تكون أقل استقرارية عند درجات الحرارة العالية مقارنة باستقرارية هذه المقدادات عند درجات الحرارة الاعتيادية. فعل سيل المثال، يعاني المركب $[Cr(en)_3]Cl_3$ تغيراً عددياً تدريجيًّا إلى درجة 210 درجة



كما أن احترار الضغط الذي يتضمن له مقداد معين قد يؤدي إلى فقدان أحد مكوناته المتطرفة.

2 - عوامل التركيز: إن استقرارية أو حتى وجود بعض المركبات المقيدة تتأثر كثيراً بتركيزات التركيز، إن بعض المقدادات التي توجد في الحالة الصلبة تتحطم عند إذابتها في أحد الظروف. وفي هذه الحالات تطلق جزيئات المذيب غالباً اللصق للتلاقي مع أيون الفلز من الليكانتات الأخرى المناسبة معه في الحالة الصلبة. فعل سيل المثال، يوجد الأيون

$\text{[CrCl}_3\text{]}^{2-}$ في المذالة الصلبة بألوان المصفوف: وعند إذابة في الماء يتحول اللون إلى الأزرق نتيجة تكون الأيون $\text{[Cr(H}_2\text{O)}_6\text{Cl}]}^{2+}$. وقد بهذه تكون الأيون الأصلي بالإضافة جانب الميوروكاريوك ولون $\text{[Cr(H}_2\text{O)}_6\text{Cl}]}^{2-}$ ذو اللون الوردي يتحول في الخلول المائي إلى مقدادات زرقاء بالإضافة Cl^- أو Br^- أو SCN^- . وبتحجيف الخلول يعاد تكون الأيون المائي الأصلي.

إن تأثير عامل التركيز قد يؤدي لي بعض الأحيان إلى تكون مقداد أكبر استقراراً. فعل سيل المثال، يعني المقداد $\text{[Cr(H}_2\text{O)}_6\text{Cl}]}^{2+}$ ذو اللون الأخضر نمواً بطيئاً إلى المقداد $\text{[Cr(H}_2\text{O)}_6\text{Cl}]}^{3+}$ ذي اللون البنفسجي الذي يهدّد أكثر استقراراً من المركب الأصلي.



بنفسجي أخضر

٣ - طبيعة الأيون المرجود خارج كوة التسامي: تتأثر الاستقرارية المترابطة لمقداد المقدادات أحياناً بوجود بعض الأيونات المرجدة خارج كوة التسامي. هذه الأيونات محل للتحول إلى كوة التسامي وإنجهاها على حساب المركبات المتساقطة كلياً. إن الأيونات مثل CN^- و SCN^- و Cl^- و Br^- و $\text{C}_2\text{O}_4^{2-}$ و NO_3^- هي هنا المثل. أما لون NO_3^- فله محل شفاف ولون ClO_4^- يذكر أن هذا الميل ليس يمكن تحضيره كثُر من المركبات المقدادة في محلول هذا الأيون دون أن يحصل معه تآكل.



٤ - تأثير تغيرات الظروف

تأثير تغيرات تغيرات المقدادات بهذه الطرق المعاددة لتقدير ثبات توازن المقدادات المختلفة. وهذه الطرق تشمل الطرق الطيفية وطرق التسريع الباهادي وطرق التوزير غراضي وطرق قياس جهد الاستقطاب، وطرق قياس قابلية الترويذ وطرق التأذل الأولي. وفي هذا الفصل يكفي أن نشير إلى بعض هذه الطرق.

الفصل الثامن

ميكانيكية تفاعلات المركبات المعقّدة

Mechanisms of Reactions of Complex Compounds

١-٤

على الرغم من بعض الفرض الذي يكتفى طبيعة التأثير الكمياني للمركبات المعقّدة والمعنى الأكثروني فيها، تقدّم تفاعلات التعريض التي تسرّبت من مقدّمات الفلازات الانتقالية من أكثر التفاعلات التي تمت دراستها من الناحيّة المركبة والميكانيكية. وللمركبات التي تمت دراستها بصورة شاملة تقرير في المقدّمة الأولى المسطّحة.

إن الاستفاضة عن احتدال المركبات في مركب معقد، وبين المركبات الأخرى قد تستغرق فترة زمنية تقدر بالفترة الازوقة لزوج المواد المتفاعلة، وبذلك تقدّمات لا يحصل فيها التعريض بهذه السرعة لأنها مقدّمات فناء بالذات، بل في الواقع حالة العوارض لهذه المقدّمات بصورة سريعة، وإن معدل سرعة ذلك المنهج يترافق جلّاً بحيث يصعب قياسه بوسائل القياس الاعتيادية، وللمقدّمات التي تتم تفاعلات التعريض بصورة بطيئة نسبياً (عمر النصف أكبر من دقيقة واحدة) تصنّف بكونها خاملة inert، ونظراً لكون تفاعلات المركبات الصالحة معرفة فإن حضورها لا يعتمد على التاريخ السابق للمذيب، لكن الأمر ليس كذلك، بل بصورة تفاعلات المركبات الماءلة، نشير هنا إلى ما جاء في مقدّمة الفصل السابع حول

عدم الخلط أو المزج بين مصطلحي مستقر (Stable) و خامل (inert)، وكذلك بين مصطلحي غير مستقر (unstable) و فعال (labile). ونشير أيضاً إلى المفاهيم الزمودايتيميكية والحركية التي مر ذكرها عن هذه المصطلحات. إن مصطلح «خامل» (inert) يستعمل عموماً لأغراض مقارنة معدل سرعة التفاعلات الكيميائية.

2-8 معدنات الأوربيال الداخلي الخامدة والفعالة

استناداً إلى نظرية آصرة التكافؤ تستعمل الأوربيالات المجينة (SP^2)² لتكوين المعدنات ذات الأوربيال الداخلي. وبالنسبة لفلزات السلسلة الانتقالية الأولى إن أوربيالات d المقصودة هي أوربيالات $3d$. والأوربيالان المستغلان في تكوين الأوربيالات المجينة هما أوربيالاً بمجموعة g (dx^2-y^2, dz^2). أما الكترونات الفلز الانتقال في هذه المعدنات فتشغل مجموعة أوربيالات g وهي أوربيالات لا تشترك في تكوين أواصر كيميائية. ولقد اشار تاويه Taube إلى وجود علاقة مهمة بين التركيب الإلكتروني ومعدل سرعة التفاعلات الكيميائية لمعدنات الأوربيال الداخلي. يعده المعدن فعالاً (labile) في حالة عدم إحتواء أوربيالات g على الإلكترونات أو إحتواها على الكترون واحد أو الكترونين (g^1, g^2, g^3). وبعبارة أخرى إذا كانت أوربيالات g جميعها شاغرة أو تحتوي على شاغر واحد أو شاغرين فإن معدن الأوربيال الداخلي يعد فعالاً. أما إذا كانت أوربيالات g جميعها مشغولة بالكترون ولو بحد أدنى أقل فالمعدن يعده خاملاً. ويجيب هنا التصنيف تفع معدنات كاتيونات الفلزات الانتقالية ذات التركيب الإلكتروني (d^1, d^2, d^3) ضمن المعدنات الفعلة، أما المعدنات ذات التركيب الإلكتروني لأوربيالات g (d^6, d^4, d^3, d^5) فهي معدنات خاملة.

استناداً إلى نظرية الأوربيال الجزيئي التي تعطي لمعدن الأوربيال الداخلي إسم معدن اليرم المزدوج أو معدن اليرم الواطيء، يعده المعدن فعالاً في حالتي

1 - كون أوربيالاً g شاغرين.

2 - كون أحد أوربيالات g شاغراً، أي عندما لا تحتوي أوربيالات g على الإلكترونات أو تحتوي على الكترون واحد أو الكترونين.

ويعد المعدن خاملاً في حالتي

3 - كون أوربيالاً eg شاغرين.

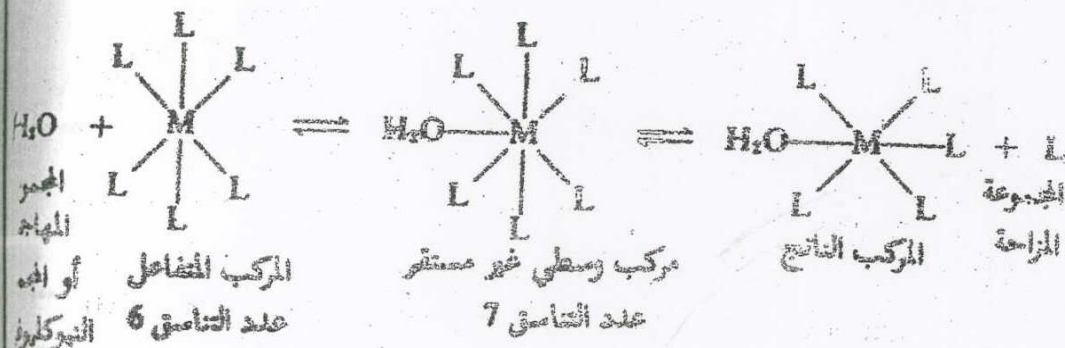
2 - إحتواء جميع أوربيات t_{2g} على الكترونات إما ب بصورة جزئية أو بصورة مكتملة . وفي هذه الحالة تأخذ أوربيات t_{2g} أحد الترتيبات الالكترونية $t_{2g}^6, t_{2g}^5, t_{2g}^4$.

يلاحظ أن كلتا نظرتي آصرة التكافؤ والأوريتال الجزيئي تعطي نتائج مشابهة . تعد جميع عقدات الأوريتال الخارجي (العقدات ذات الاوامر المحببة Sp^3d^2) من العقدات الفعالة ، وهكذا يعد العقد $[Fe(CN)_6]^{3-}$ خاماً (لانه ذو أوريتال داخلي) والعقد $[FeF_6]^{3-}$ فاما (لانه ذو أوريتال خارجي) . بين الجدول 8-1 التركيب الالكتروني لبعض أيونات الفلزات الانتقالية التي تكون العقدات الخامدة والفعالة وفقاً لتصنيف توب .

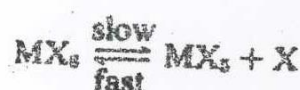
الجدول 8-1 التركيب الالكتروني لعقدات الأوريتال الداخلي الخامدة والفعالة

التركيب الالكتروني	أيون الفلز المركزي	نظريه الأوريتال الجزيئي	نظريه آصرة التكافؤ
Labile Complexes			
$d^0d^0d^0D^2SP^3$	$t_{2g}\ 000$	$g^*\ 00$	Sc(III), Y(III), rare earths(III), Ti(IV), Zr(IV), Hf(IV), Ce(IV), Th(IV), Nb(V), Ta(V), Mo(VI), W(VI)
$d^1d^0d^0D^2SP^3$	$t_{2g}\ 100$	$g^*\ 00$	Ti(III), V(IV), Mo(V), W(V), Re(VI)
$d^1d^1d^0D^2SP^3$	$t_{2g}\ 110$	$g^*\ 00$	Ti(II), V(III), Nb(III), Ta(III), W(IV), Re(V), Ru(VI)
Inert Complexes			
$d^1d^1d^1D^2SP^3$	$t_{2g}\ 111$	$g^*\ 00$	V(II), Cr(III), Mo(III), W(III), Mn(IV), Re(IV)
$d^2d^1d^1D^2SP^3$	$t_{2g}\ 211$	$g^*\ 00$	$Cr(CN)_6^{4-}, Mn(CN)_6^{3-}, Re(III), Ru(IV), Os(IV)$
$d^2d^2d^1D^2SP^3$	$t_{2g}\ 221$	$g^*\ 00$	$Mn(CN)_6^{4-}, Re(II), Fe(CN)_6^{3-}, Fe(phen)_3^{3+}, Ru(III), Os(III), Ir(IV)$
$d^2d^2d^2D^2SP^3$	$t_{2g}\ 222$	$g^*\ 00$	$Fe(CN)_6^{4-}, Fe(phen)_3^{2+}, Ru(II), Os(II), Co(III) (except CoF_6^{3-}), Rh(III), Ir(III), Pd(IV), Pt(IV)$

توضح أهمية هذا التصنيف من التمييز الواضح بين معقد فعال وآخر خامل لأن آيون الفلور في حالته تأكسد متعدد. من هنا في الفصلين الرابع والسابع أن استقرارية المركب المعقد تزداد بارتفاع حالة تأكسد فتره المركزية. وباعتبار هذه اللاحظة ينبع من المستغرب بعض آيونات Mo^{3+} و W^{5+} ضمن المعقدات الخاملة و البعض آيونات حالات تأكسد الأعلى Mo^{4+} , Mo^{5+} , W^{6+} , W^{7+} ضمن المعقدات الفعالة. يزال هنا الفرضي إذا ما علمنا أن معدل سرعة تفاعل التبادل يعتمد على توفر اوريتال شاغر لاستقبال المجموعة المهاجحة (يتوفّر هنا الوريتال في حالتي التأكسد الأعلى لذئن الآيونين) وتكونن حالة انتقال يزيد عدد التبادل فيها بقدر 1.0 على عدد تبادل المركب المتفاعل (تفاعل S_N^2) ولابعد اللامبالاة على مقدرة المجموعة المهاجحة إلا لكي يليها دخول المجموعة المهاجحة (تفاعل S_N^1). توضح ميكانيكياً S_N^2 بالتفاعل الآتي



لاحظ ترب Taube تفصيلًا في معدل سرعة تفاعلات التحلل للأيونات بأزيداد شحنة الأيون المركزي على طول سلسلة آيونات AlF_6^{3-} و SiF_6^{2-} و PF_6^- و SF_6 . أدى هذه الظاهرة إلى اقتراح ميكانيكية S_N^1 لهذه التفاعلات توضح هذه الميكانيكية عملية تخلخل أحاديد البريلي (مثل الخطوة المقررة لمعدل التفاعل) مؤدية إلى تكون معقد وسطي أو حالة انتقال ذات تبادل خاص في هذه الخطوة تفاعل سريع بين المعقد الوسطي والمجموعة المهاجحة. وهذا الميكانيكية موضحة في التفاعل الرمزي الآتي



يلاحظ في ميكانيكية S_N^2 أن المطردة المقررة لعطل سرعة التفاعل تضمن تكوين مركب وسيطي عدده التاسع 7 . وعلى ضوء تصنيف توب لعقدات الأربال الداخلية وفق نظرية أسرة التكافؤ، بعد الارتبال الشاغر في S_N^2 ضرورة تكون المركب الوسيطي ذي عدد التاسع 7 . وعلى ضوء نظرية الارتبال الجزيئي بعد الارتبال الشاغر في S_N^2 اورتالا غير آصري، وهو مستعد لتكوين الصورة الإضافية في المركب الوسيطي ذي عدد التاسع 7 . إن أي أيون فلز لا ينجز فيه هذا الارتبال الشاغر لا يجد التفاعل وفق الميكانيكية S_N^2 ، وإذا أرد له أن يتفاعل بهذه الميكانيكية وجب أن يوفر اورتالا شاغراً في S_N^2 وذلك ببرقة أحد الالكترونات إلى اورتال تقىض للتأثر، وحتى في هذه الحالة لا يجد، وفق اختبارات الطاقة، تكوين المركب الوسيطي ذي عدد التاسع 7 ، لأن هذه العملية تزيد عدد الالكترونات تقيبة التأثر. وفي مثل هذه الحالات تفضل ميكانيكية S_N^1 لأنها تخزل عدد الالكترونات تقيبة التأثر.

3- طاقة استقرار أبهال البلوري Crystal field Stabilization energy

نعلم أن اورتالات S_N^2 تشغله الالكترونات قبل اورتال S_N^1 . ونعلم أن اورتالات S_N^2 لأنواعه الليكاند مباشرة وإنما تأخذ إتجاهات تتصدر بين الليكاندات. شروع للمجموعة النيوكليوفيلية المهاجمة أن تصل إلى أيون الفلز غير إقترابها من بين راقع الليكاندات . وبهذا تتوقع للمجموعة المهاجمة أن تتأثر بالالكترونات الموجودة في S_N^2 . فإذا كانت اورتالات S_N^2 مختلفة فإنها تتفاوت مع الالكترونات المجموعة المهاجمة مما يؤدي إلى ارتفاع طاقة التشتيط . وبهذا التأثير تعدد مثل هذه العقدات خاملة . وآخر العقدات عمولاً هي ذات التركيب الالكتروني ^5D ومن أمثلتها $[^5\text{D}(\text{NH}_3)]^+$ $[\text{Co}(\text{NH}_3)_6]^+$ حيث أن جميع الالكترونات السبعة موجودة في اورتالات S_N^2 . وإذا كان اورتال واحد أو أكثر من اورتالات S_N^2 مشغولاً بالكترون واحد، فعندها يكون ارتفاع طاقة التشتيط أقل مما عليه في الحالة الاولى لأن المجموعة المهاجمة تستطيع أن تغرب من أيون الفلز غير اورتال ذي كثافة الكترونية أقل . ويمكننا تعدد العقدات ذات التركيب الالكتروني ^5P ، ^5S ، ^3D ، ^3P ، ^1D ، ^1P ، ^1S ، ^1G ، ^3F ، ^3G ، ^5F ، ^5G لأنها والحالة هذه تتطلب طاقة تشتيط واحدة .

يمكن تقليل طاقة التشتيط لميكانيكية مبنية وذلك من مقارنة استقرار المجال البلوري (نكب بالمرف الاول CFSE) للعقد المتفاعل وطاقة استقرار

المجال البلوري للمركب الوسطي أو حالة الانتقال ، مفترضين تركيباً معيناً لها . وهذا التركيب هو شكل الهرم المربعي للمركب الوسطي ذي عدد التناصق 5 (وفق ميكانيكية S_N^1)، وشكل ثانٍ لهرم الخمسي للمركب الوسطي ذي عدد التناصق 7 (وفق ميكانيكية S_N^2).

إن إزالة إحدى الليكاندات من كرة تناصق مركب معقد ثمانى السطوح لغرض تكوين مركب وسطي خماسي التناصق (هرم مربعي) لاشك سيؤثر على إنفصال مستويات طاقة اوريتالات d . فإذا صاحب هذا التحول خسارة كبيرة في استقرارية المجال البلوري ، فعندما تنزم طاقة تشويط كبيرة لأنجذاره ، وبذا بعد المعقد الثاني السطوح المتفاعل خاماً inert . أما إذا لم يصاحب هذا التحول أية خسارة أو خسارة قليلة في استقرارية المجال البلوري ، فالمركب المتفاعل بعد فعالاً labile . تؤخذ نفس الاعتبارات في تقدير الفرق في طاقة استقرارية المجال البلوري المتفاعل المركب الثاني السطوح من خلال تكوين مركب وسطي عدد التناصق فيه يساوي 7 . يرمز للخسارة بأشارة موجبة والربح باشارة سالبة . الخسارة في الطاقة تزيد من طاقة التشويط اللازمة للتفاعل ، والربح في الطاقة يقلل من طاقة التشويط اللازمة للتتفاعل . يبين الجدولان 8-2 ، 8-3 تقديرات طاقة استقرارية المجال البلوري (Ba) في المجالين القوي والضعيف لتفاعلات تحصل غير تكوين مركب وسطي خماسي التناصق (الجدول 8-2) ولتفاعلات تحصل غير تكوين مركب وسطي سباعي التناصق (الجدول 8-3) . الجدول 8-2 يختص ميكانيكية S_N^1 والجدول 8-3 يختص ميكانيكية S_N^2 .

إن حساب طاقة استقرارية المجال البلوري لبني مركبات أعداد التناصق المختلفة ، يعتمد على معرفة مبقة ل كيفية إنفصال مستويات طاقة اوريتالات d . يستطيع الطالب من خبرته السابقة أن يحسب طاقة استقرارية المجال البلوري لبني ثمانى السطوح . وقد وضحتنا في الفصل الرابع (الجزء 3-44) كيفية إنفصال مستويات طاقة اوريتالات d لأعداد التناصق المختلفة مبينين طاقتها النسبية فقط . ولكن يمكن للطالب من حساب طاقة استقرارية عندي التالية 7,5 (وما مهمن هنا) لابد من معرفة طاقة كل مستوى من مستويات اوريتالات d . ومن الطبيعي أن الإلكترونات تشغل أوطأ الاوريتالات طاقة أولاً . وهذه الطاقات مبينة في الجدول 4-8 .

المدخل 2-3 طاقة إستقرارية المجال البلوري لمكانيكيه S_N^1

Octahedral Square Pyramid

		المجال القوي		المجال الضعيف			
		Ea		نرم مميس ثالثي السطوح		نرم مميس ثالثي السطوح	
d^0	0 Dq	0 Dq	0 Da	0 Dq	0 Dq	0 Dq	0 Dq
d^1	4	4.57	-0.57	4	4.57	-0.57	-0.57
d^2	8	9.14	-1.14	8	9.14	-1.14	-1.14
d^3	12	10.00	1.00	12	10.00	2.00	2.00
d^4	16	14.57	1.43	6	9.14	-3.14	-3.14
d^5	20	19.14	0.86	0	0	0	-0.57
d^6	24	20.00	4.00	4	4.57	-1.14	-1.14
d^7	18	19.14	-1.14	8	9.14	2.00	2.00
d^8	12	10.00	2.00	12	10.00	-3.14	-3.14
d^9	6	9.14	-3.14	6	9.14	0	0
d^{10}	0	0	0	0	0	0	0

نستخلص من المدخلين 3-8, 2-8 المعلومات الآتية:

1 - إن معقدات d^0 ومعقدات البرم الواطيء d^1, d^2, d^3 هي الانظمة التي تتأثر كثيراً بتكون حاله الانتقال لكتنا ميكانيكيتي S_N^1 و S_N^2 . وبعابر آخر، إن هذه الانظمة تعانى خسارة كبيرة في طاقة إستقرارية المجال البلوري. واذا ما نظرنا الى عام طاقة إستقرارية المجال البلوري فقط، فإن هذه الانظمة تتفاعل يعطى بكتنا ميكانيكيتي S_N^2, S_N^1 .

2 - المعقدات d^0, d^1, d^2, d^3 وكذلك معقدات d^4 ذات البرم العالى ومعقدات d^{10} لأنعاني خسارة في إستقرارية المجال البلوري بغض النظر عن نوع الميكانيكية المقترحة. ويجوب هذا الاعتبار تعد هذه المعقدات فعالة labile. وهذا هو نفس الاستنتاج الذي خرج به من تفسيرات نظرية آصرة التكافؤ. واذا ماردنا أن نفضل ميكانيكية معينة على الأخرى فإننا

المحلول فيه طاقة مستويات ارتفاعات

النهاية المحددة	$\frac{dx^2-y^2}{dx^2}$	$\frac{dy^2}{dx^2}$	$\frac{dxy}{dx}$	$\frac{dxy}{dy}$	$\frac{dyz}{dx}$	$\frac{dyz}{dy}$
المرم المربع	9.14 D_q	0.86	-0.86	-4.57	-4.57	
ثاني المرم	2.82 D_q	4.93	2.82	-5.28	-5.28	
المحض						

نختار ميكانيكية S_N^2 لأن مقدار الربح في طاقة استقرارية المجال البلوري وفق ميكانيكية S_N^2 بعد أكبر مما عليه في ميكانيكية S_N^1 .

3 - تتفق نظرية المجال البلوري مع نظرية آصرة التكافؤ حول معدلات سرعة تفاعلات المعدن ذات الورتال الداخلي وهي d^3, d^4, d^5, d^6 . وبعدها الأتفاق هو أن هذه المعدن خاملة inert سواء بميكانيكية S_N^1 أم S_N^2 . وبالنسبة لنظرية المجال البلوري تقع فعالية هذه المعدن للتفاعل بأي من الميكانيكيتين وفق التسلسل $d^6 > d^5 > d^4 > d^3$.

4 - بالنسبة للمعدن ذات الورتال الخارجي (أي ذات المجال البلوري الضعيف) للأنظمة d^3 إلى d^{10} توقع نظامي d^3, d^4, d^5, d^6 فقط أن يتفاعل بيطري بكلتا الميكانيكيتين. أما بقية الأنظمة وهي $d^4, d^5, d^6, d^7, d^8, d^9$ فإنها تتفاعل بسرعة.

5 - لا تتفق النظريتان حول فعالية معدن ذات البرم العالي في تفاعلهما بأي من الميكانيكيتين. فنظرية آصرة التكافؤ تضع هذه المعدن في مستوى فعالية المعدن ذات البرم العالي المذكورة في الملاحظة الرابعة أعلاه، في حين إن نظرية المجال البلوري، وكما يتضح من بيانات الجدولين 2-8, 3-8 تصنف هذه المعدن بمستوى محول inertness معدن d^3 ، لأن كلا نظامي d^3, d^4, d^5 يعاني نفس الخسارة في استقرارية المجال البلوري وبكلتا الميكانيكيتين. يلاحظ من البيانات الجدولين أيضاً إن معدن d^8 ذات البرم العالي من ناحية تفاعل بمعدلات سرعة تفوق معدلات سرعة تفاعلات d^3, d^4, d^5 ، ومن الناحية الأخرى تعد معدلات سرعة تفاعلهما بطيئة إذا ما

قورنت بمعدلات سرعة تفاعلات الانظمة⁷, d^9 , d^7 , d^{10} . لم تستطع نظرية آصرة التكافؤ ان تجري مثل هذه المقارنات بين هذه الانظمة.

حين تتفق النظريتان في تخميناتهما تأني النتائج التجريبية منسجمة مع هذه التخمينات . والاتفاق بينهما جيد حول تخمين التفاعلات السريعة للمعقدات المحتوية على اوريتال شاغر واحد على الاقل من اوريتال د الداخلية . غير ان هذا الاتفاق يبني على اسباب مختلفة . فنظرية آصرة التكافؤ تحبذ والحالة هذه ميكانيكية S_N^2 من خلال توفر الاوريتال الشاغر الذي يسهل تكون آصرة تساهي جديدة ، أو بعبارة أخرى ، يسهل تكون المركب الوسطي ذي التناص السباعي . أما نظرية المجال البلوري فيعرف عنها أنها لا تعرف بالتناصر التساهي أو بتوفّر اوريتال شاغر . وهذه النظرية تبني جميع توقعاتها حول إمكانية تكون مركب وسطي خماسي التناص (ميكانيكية S_N^1) أو سباعي التناص (ميكانيكية S_N^2) دون خسارة أو نقصان في طاقة استقرارية المجال البلوري . وبتعبير آخر ، إن نظرية المجال البلوري لا تهم بنوع الميكانيكيةقدر إهتمامها بالحفاظ على زيادة استقرارية المجال البلوري في المركب الوسطي الناتج . وشرط توفر الاوريتال الشاغر ليس ملزماً على الدوام لحصول التفاعل وفق ميكانيكية S_N^2 . تستنتج مما تقدم ، أن نظرية المجال البلوري لا تعيد نفسها في تخمين معدل سرعة التفاعل بميكانيكية معينة . ومرة أخرى تفضلها على نظرية آصرة التكافؤ كونها قادرة ، من خلال تصنيف معين ، على إجراء مقارنات حول معدلات سرعة التفاعلات ليس باستطاعة نظرية آصرة التكافؤ اجراؤها .

لابد أن نقول هنا . حول استعمال بيانات الحدولين 3-8, 2-8 ، أن طاقة المجال البلوري لا تشكل الا جزءاً صغيراً فقط من طاقة الانظمة التي ذكرت أعلاه . وان طاقة المجال البلوري تsem بجزء صغير فقط من طاقة التشتيط . وهناك عوامل أخرى كثيرة تسهم بطاقة التشتيط ومنها

- (أ) تجاذب فلز ليكائد (قوة الآصرة فلزليكائد)
- (ب) تنافر ليكائد - ليكائد
- (ج) شحنة الايون المركزي
- (د) حجم الايون المركزي
- (هـ) شحنة طبيعية الليكائد المراد إزاحتها
- (و) شحنة وطبيعة الليكائد المهاجمة (المجموعة النيوكليوفيلية)

ولابد أن نقول أيضاً إن تأثيرات نظرية المجال البلوري ونظرية آصرة الكافر تشمل معدلات السرعة النسبية (وليس المطلقة) لتفاعل المقدادات ذات الأعداد المختلفة من الكترونات e . إن معدل السرعة المطلق يقدر بجمل التغيرات التي تحصل في العوامل المذكورة أعلاه.

4-8 تأثير العوامل الكهروستاتيكية على معدل سرعة التفاعلات

شرحنا في الجزء 3-8 تأثيرات المجال البلوري. وفي هذا الجزء نعطي بصورة مختصرة تأثير العوامل الكهروستاتيكية على معدل سرعة تفاعلات التعويض. ولنبعذ تأثيرات عامل المجال البلوري لختار نظاماً تكون اورباتات L فيه شاغرة كلية أو ممتلئة كلياً. والعوامل الكهروستاتيكية ذات الأهمية هي شحنة وحجم الأيون المركزي وشحنة وحجم الليكائد المهاجمة والليكائد المغادرة. نورد بشأن هذه العوامل الملاحظات الآتية

1 - تزداد فرصه حصول تفاعل التعويض بنوع من ميكانيكية S_N^1 إما بالانخفاض شحنة وازيداد حجم الأيون المركزي أو المجموعة المغادرة (المراد استبدلها بالمجموعة المهاجمة). فعل سبيل المثال، يحصل استبدال إحدى جزيئات الماء من المعد $[Fe(H_2O)_6]^{2+}$ أسرع من استبدال جزيئه الماء من المعد $[Fe(H_2O)_5]^{3+}$ ، ويحصل استبدال أيون الهايليد من المعد $[Co(NH_3)_5Br]^{2+}$ أسرع من استبداله من المعد $[Co(NH_3)_5Cl]^{2+}$.

2 - تزداد فرصه حصول تفاعل التعويض بنوع من ميكانيكية S_N^2 وذلك بنقصان حجم وازيداد شحنة المجموعة المهاجمة. إن مجموعة مهاجمة بهذه المواصفات تستطيع بسهولة أن تصل إلى الأيون المركزي وتكون معه آصرة تساهمية أو مركباً وسطياً سباعي التناسق. وإذا ما اردنا أن نقارن كفاءة أيونات الهايليد بمثابة ليكائدات نيوكليو فليلة مهاجمة لتفاعل يحصل بميكانيكية S_N^2 ، لابد أن نكتب التسلسل الآتي $F^- > Br^- > Cl^- > I^-$.

3 - لأزيداد شحنة الأيون المركزي تأثيرات متضاربة على ميكانيكية S_N^2 . إن لأزيداد هذه الشحنة يجعل كسر آصرة فلز - ليكائد مغادرة صعباً، لكنه

يجعل تكون آمنة فلز — ليكائد مهاجمة أسهل. ومصلحة تأثير هذه العاملين المتضارعين تعتمد على الأهمام النسبي لكتل العاملين. إن عامل إزدياد شحنة الأيون المركزي يخزن أفضلية ميكانيكية S_N^2 على ميكانيكية S_N^1 .

4 — تزداد فرصة حصول تفاعل التعويض بميكانيكية S_N^2 بازدياد شحنة وحجم الأيون المركزي.

5 — تميل تفاعلات التبخر بميكانيكية S_N^1 , S_N^2 للحصول بصورة سريعة وذلك بالانخفاض شحنة المجموعة المغادرة وإزدياد حجمها. تتفاعل فرصة S_N^1 حين تكون شحنة المجموعة المغادرة عالية وحجمها صغيراً جداً. وبهذا التأثير تزداد فرصة ميكانيكية S_N^2 . وكذلك تتفاعل فرصة ميكانيكية S_N^2 حين تكون المجموعة المغادرة كبيرة الحجم (تحول دون تسهيل مهمة إتمال المجموعة المهاجمة بسبب الاعاقة الفراغية). وهذا التأثير تزداد فرصة ميكانيكية S_N^1 .

6 — تلعب الليكائد الأخرى المصلحة باليون المركزي دوراً مهماً في تفضيل ميكانيكية معينة على ميكانيكية أخرى. فعندما تكون هذه الليكائد كبيرة الحجم جداً، يلعب عامل الاعاقة الفراغية المسبب عنها هوراً في توجيه التفاعل. إن الشحنة السالبة لهذه الليكائد تلعب أيضاً دوراً مهماً في توجيه التفاعل. وهكذا فإن إزدياد الشحنة السالبة لهذه الليكائد تفضل ميكانيكية S_N^1 . أما ميكانيكية S_N^2 فيتفاعل إحتمال حصولها بسبب تناقض شحنة هذه الليكائد مع الشحنة السالبة للمجموعة المهاجمة.

إن الملاحظات التي ذكرت إلى هنا الحد تمثل تخمينات مفرطة في البساطة لموضوع هو في الواقع شائك وصعب جداً. لم تأخذ هذه التخمينات بنظر الاعتبار تأثير التاصر Π . يمكن للليكائد غير المشبعة (تحتوي على التاصر Π) أن تكون أكثر فاعلية في إزاحة المجموعة المغادرة لأنها تزيد من قوة التاصر في المركب الوسطي. وإذا كانت الليكائد غير المشبعة هي الليكائد المراد إزاحتها يصبح من الصعب للليكائد أخرى أن تحملها. وثمة توجيه آخر هو أن التخمينات التي اجريت أعلاه مبنية أساساً على تصورات كهرومغناطيسية لا يسري مفعولها حين يتصف المركب التفاعل بدرجة أو بأخرى من التاصر التساهمي.

5-8 ميكانيكية تفاعلات التبديل

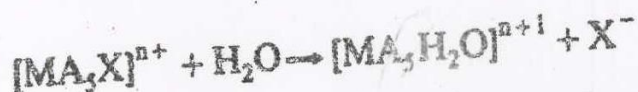
(Mechanisms of Substitution Reactions)

إن أكثر المقدادات التي درست هي المقدادات الثانية السطوح لأيوني Cr^{3+} , Co^{3+} . وسبب ذلك بالدرجة الأولى هو أن مقدادات هذين الأيونين على درجة من الخمول Inertness تسمح بإجراء قياسات تؤدي إلى معرفة معدل سرعة التفاعل كما تؤدي أيضاً إلى اقتراح ميكانيكية معينة وفضيلتها على ميكانيكية أخرى. أما المقدادات الفعالة labile فلا تتمكن بالسهولة المطلوبة في إتخاذ قرار حول الميكانيكية المفضلة، ذلك لأن تفاعلاً منها سريعة جداً وبصعب دراستها بوسائل القياسات الأعتيادية.

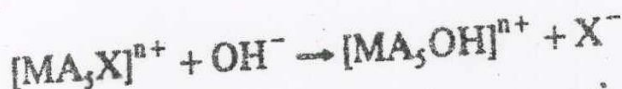
ومن الأسباب الأخرى التي دعت إلى غرامة مقدادات هذين الأيونين هو أن مركباتهما كثيرة جداً ومتعددة وسهل تحضيرها. ولقد درست أيضاً مركبات الفارات الأخرى الموجودة في طائفتي هذين الفلزتين. تصنف تفاعلات التعريف لسهولة الدراسة إلى عدد من الأنواع، وبتضمن هذه الفصل دراسة بعض هذه التفاعلات للمركبات الثانية السطوح وكذلك دراسة تفاعل تأكسد إختزال وتفاعل التعريف للمركبات ذات الشكل المربعي المستوي.

الـ5-5-1 التحلل المائي في الوسط الحامضي (Acid hydrolysis)

تضمن هذه التفاعلات استبدال أحدى الليكاندات المتاسقة بواسطة جزيء ماء. لهذا السبب يطلق على هذه التفاعلات اسم «المبيو aquation».



يستخدم مصطلح «التحلل المائي» أيضاً لتفاعل من نوع

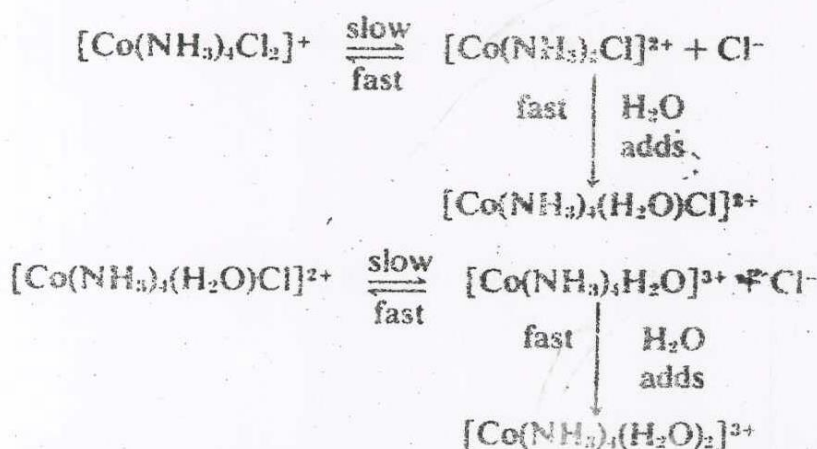


ولغرض التمييز بين التفاعلين يطلق على الأول اسم «التحلل المائي في الوسط الحامضي» ويطلق على الثاني اسم «التحلل المائي في الوسط القاعدي».

تخضع تفاعلات التحلل المائي في الوسط الحامضي لحركة من الدرجة

الأول ، لأن معدل سرعة التفاعل يعتمد على تركيز المركب المتفاعل وان تركيز المذيب لا يطرأ عليه تغير محسوس . وهذه الملاحظات لاتعني بالضرورة حصول التفاعل بيكانيكية S_N^1 ، إذ يمكن للتفاعل أن ينضج لحركة من الدرجة الأولى حتى وإن كان ثانٍ الجزيئي bimolecular ينضج شمول جزئية الماء . ومع ذلك ، يمكن التوصل إلى الميكانيكية المناسبة من خلال معرفة التغيرات التي تطرأ على ثابت معدل سرعة التفاعل نتيجة تغير بعض خصائص المركب المتفاعل .

للحظ أن معدل سرعة تفاعل المعدن $[Co(NH_3)_5Cl]^{2+}$ أبطأ بكثير من معدل سرعة تفاعل المعدنين $[Co(NH_3)_4Cl_2]^+$ ، trans-[$[Co(NH_3)_4Cl_2]^+$ ، Cis-[$[Co(NH_3)_4Cl_2]^+$] . يمكن تعليل هذا الفرق على أساس محصلة الشحنة على المركب المتفاعل . إن المركب $[Co(NH_3)_4Cl_2]^+$ يعني إستبدال أيوني الكلوريد بخطوتين ، وعلى أساس محصلة الشحنة على المركب بعد معدل سرعة الخطوة الثانية أبطأ من الخطوة الأولى . إذ كلما كانت محصلة الشحنة الموجبة كبيرة تزداد صعوبة إزاحة أيون الكلوريد ذي الشحنة السالبة . وعلى أساس ميكانيكية S_N^1 يحصل إستبدال أيوني الكلوريد من المعدن $[Co(NH_3)_4Cl_2]^+$ بخطوتين كما يأتي



إن انخفاض معدل سرعة إستبدال أيون Cl^- الثاني بسبب إزدياد محصلة الشحنة الموجبة على المعدن ، يوحي أن الخطوة المهمة في الميكانيكية هي كسر آصرة فلز - ليكايند مغادرة . وهذا الاستنتاج يوحي ميكانيكية S_N^1 المقترحة . ولو كانت الميكانيكية المقترحة هي ميكانيكية S_N^2 لكان معدل سرعة إستبدال أيون Cl^- الثاني سريعاً مقارنة بمعدل سرعة أيون Cl^- الأول ، لأن إزدياد الشحنة الموجبة على المعدن يجذب إقتراب المجموعة النيوكليفيلية من أيون الفلز ، كما جاء في الملاحظتين 3,2 في الجزء 8-4 .

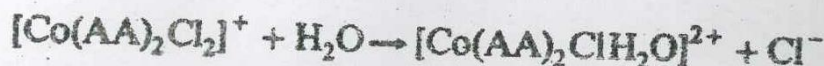
إن استبدال جزيئات الأمونيا في معقدات الكوبالت الامينية بواسطة ليكائدات كيليتية مثل dien, trien, en وغيرها، يؤدي إلى انخفاض معدل سرعة التفاعلات، ولكن ليس بنفس درجة انخفاض معدلات السرعة التي تحدثها محصلة الشحنة الموجبة على المعقدات. لاحظ على سبيل المثال، معدلات السرعة الآتية

المعقد المتفاعل مع H_2O	ثابت معدل السرعة
$[Co(NH_3)_5Cl]^{2+}$	$6.7 \times 10^{-6} \text{ Sec}^{-1}$
Cis- $[Co(en)_2NH_3Cl]^{2+}$	$1.4 \times 10^{-6} \text{ Sec}^{-1}$
Cis- $[Co(\text{trien})NH_3Cl]^{2+}$	$0.67 \times 10^{-6} \text{ Sec}^{-1}$
$[Co(en)(dien)Cl]^{2+}$	$0.52 \times 10^{-6} \text{ Sec}^{-1}$
$[Co(\text{tetraen})Cl]^{+2}$	$0.25 \times 10^{-6} \text{ Sec}^{-1}$

إن تأثيرات التأثير الكيليتى ليست سهلة، وهي تؤدي إلى استنتاجات مختلفة. يتوقع أن التأثير الكيليتى يقصر على آصرة Co-N ويعنى مزيداً من الكفاءة الإلكترونية على الكوبالت مقارنة بالكافاف الإلكترونية التي تتضمنها جزيئات الأمونيا. وهذا التأثير بمفرده يجب أن يزيد من معدل سرعة التفاعل بخلافاً لما أظهرته التجربة. إذن لا بد من وجود عامل آخر يلعب دوراً أهم. يفترض أن حالة الانتقال أو المركب الوسطى يكتسب درجة معينة من الاستقرارية بواسطة القذوب solvation. لكن مذوبة المركب الوسطى المحتوى على حلقات كيليتية تكون ذات كفاءة راقية بسبب كسر حجم الحلقات الكيليتية. ومع ذلك، أن فروق معدلات السرعة هي أكبر كثيراً مما يتوقع على أساس اختلاف المذوب، ما لم تكن اختلافات المذوب ذات صفة انتقائية كبيرة. وهكذا فإن مجموعات الالكيل تستطيع أن تعيق الناشر الهيدروجيني بين ذرات النايتروجين والمذيب. ولذلك فالاختلاف في معدلات السرعة ربما يكون كبيراً بما يكفي لاقتراح قيام المذيب بالمساعدة على إزاحة أيون Cl^- وذلك بواسطة الاتساع المباشر مع أيون الكوبالت وإن المذوب يتضاعل بوجود مجموعات الالكيل. وهذه الميكانيكية التي تضيق جزيئات المذيب تقع في مكان ما بين ميكانيكية S_N^2 غير أنها يمكن أن نطلق عليها اسم ميكانيكية S_N^1 إذا ما كان كسر الآصرة فلز - ليكائد مغادرة أكبر أهمية من تكوين آصرة فلز - جزيئة مذيب. ولغرض تثبيت يستطيع الطالب أنه يعطي نفس التعليقات، التي مر ذكرها لبيانات معدلات السرعة المدرجة أدناه.

المقد المتفاعل مع H_2O	ثابت معدل السرعة
Cis-[Co(NH ₃) ₄ Cl ₂] ⁺	سريع جداً
Cis-[Co(en) ₂ Cl ₂] ⁺	$2.5 \times 10^{-4} \text{ Sec}^{-1}$
Cis-[Co(trien Cl ₂)] ⁺	$1.5 \times 10^{-4} \text{ Sec}^{-1}$
trans-[Co(NH ₃) ₄ Cl ₂] ⁺	$18 \times 10^{-4} \text{ Sec}^{-1}$
trans-[Co(en)(NH ₃) ₂ Cl ₂] ⁺	$2.3 \times 10^{-4} \text{ Sec}^{-1}$
trans-[Co(en) ₂ Cl ₂] ⁺	$0.32 \times 10^{-4} \text{ Sec}^{-1}$

يؤدي تعويض مجموعة مثيل على ذرة نايتروجين مجموعة en إلى خفض معدل سرعة تفاعل المركب $[Co(AA)_2Cl_2]^+$ تدريجياً. وسبب ذلك هو قلة كفاءة مذوبة المركب الوسطي. أما التعويض على ذرات كربون مجموعة en وغيرها من الليكانيات الكيلية أو تعويض مجموعات خاصة على ذرة النايتروجين فيؤدي إلى زيادة معدل سرعة التفاعل. وهذه الملاحظة الأخيرة تدعم بشدة ميكانيكية S_N^1 ، وذلك لأن هذا التعويض يزيد من شدة الاعاقة الفراغية. ولفرض تخفيف حدة الاعاقة الفراغية تكسر أصوات فلز - ليكاني مفادة، يتكون المركب الوسطي الخامس التناسق، وبذلك يزداد معدل سرعة التفاعل. وتحت هذه الظروف تستبعد ميكانيكية S_N^2 لأن المركب الوسطي المباعي التناسق يزيد من شدة الاعاقة الفراغية. كمثال على هذه الاستنتاجات تصور عملية الاستعاضة عن أحد أيوني الكلوريد في المركب $[Co(AA)_2Cl_2]^+$ بيكانيكية.

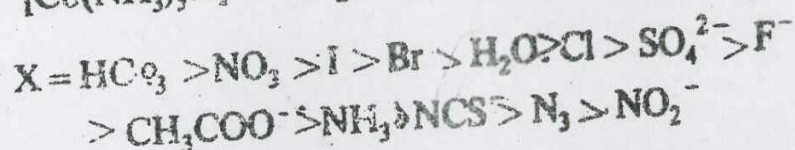
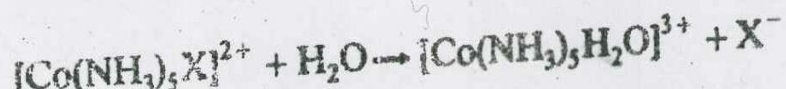


حيث AA تمثل ليكانياً ثانية السن. لوحظت معدلات السرعة الآتية التي رافقت التغيرات التي تحصل في طبيعة الليكاني AA

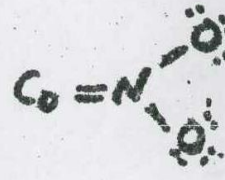
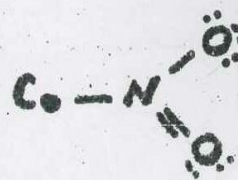
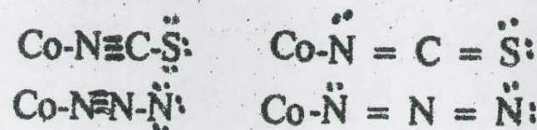
يعمل إزدياد معدل السرعة في التجارب 3,2,1 على أساس إزدياد الاعاقة الفراغية بسبب التعويض على ذرات الكربون. ويعلل التفاوت بين التجارب 5,4 بكون معدل السرعة في التجربة 4 يعزى إلى قلة كفاءة مذوبة المركب الوسطي. وفي التجربة 5 يعزى إزدياد معدل السرعة إلى الاعاقة الفراغية التي تسهل ميكانيكية S_N^1 .

الليكائد الشاوية المغادرة	نات مدخل السرعة ونر الليكائد
1- $\text{NH}_2\text{-CH}_2\text{-CH}_2\text{-NH}_2$	en $3.2 \times 10^{-5} \text{ Sec}^{-1}$
2- $\text{NH}_2\text{-CH}_2\text{-CH-NH}_2$ CH_3	pn $6.2 \times 10^{-5} \text{ Sec}^{-1}$
3- $\text{NH}_2\text{-CH-CH-NH}_2$ CH_3CH_3	bn $15 \times 10^{-5} \text{ Sec}^{-1}$
4- $\text{NH}_2\text{-CH}_2\text{-CH}_2\text{-NH}$ CH_3	meen $1.7 \times 10^{-5} \text{ Sec}^{-1}$
5- $\text{NH}_2\text{-CH}_2\text{-CH}_2\text{-NH}$ C_2H_5	eten $6.0 \times 10^{-5} \text{ Sec}^{-1}$

كما في الشرح السابق نتكلم عن أيون الكلوريد كمجموعة مغادرة. ولأشك أن معدل سرعة التفاعل يعتمد على طبيعة المجموعة المغادرة. ولوحظ في سلسلة المركبات $[\text{Co}(\text{NH}_3)_5\text{X}]^{2+}$ ، بتغيير المجموعة X المغادرة، التسلسل الآتي لقصنان معدل سرعة التفاعل



وهذا التسلسل ينافي مع تسلسل إزدياد ثابت الاستقرارية للمركبات المتفاعلة المختربة على هذه الليكائدات. جاءت النتائج التجريبية منسجمة إلى حد كبير مع ميكانيكية S_N^1 . ويمكن القول أيضاً أن تسلسل فعالية الليكائدات المغادرة المذكورة أعلاه ينافي بصورة تقريبية مع تسلسل قاعدية هذه الليكائدات. ومع ذلك، أن بعض الليكائدات المغادرة مثل NO_2^- , N_3^- , NCS^- تعطي معدلات سرعة واطئة لا يمكن تخيّلها على أساس قاعدتها. إن هذه الليكائدات تصنفي على المركب التفاعل استقرارية إضافية بسبب تراكيب الرنين الآتية التي تزيد من قوة الأصارة $\text{Co}-\text{N}$



2-5-8 التحلل الائي في الوسط القاعدي (Base hydrolysis)

تدعى إزاحة إحدى الليكандات من كرة التناسق لمركب معقد بواسطة أيون الهيدروكسيل بعملية التحلل المائي القاعدي. وبالنسبة لمقدادات الكوبالت ذات الصيغة $[\text{Co}(\text{NH}_3)_5\text{X}]^{2+}$ أو $[\text{Co}(\text{en})_2\text{X}_2]^{+}$ بعد التحلل المائي القاعدي أسرع كثيراً من التحلل المائي الحامضي، وأن التفاعل يخضع لحركة من الدرجة الثانية. فهو من الدرجة الأولى بالنسبة للمركب المتفاعلات، ومن الدرجة الأولى بالنسبة لأيون OH^- . وحقيقة كون التفاعل من الدرجة الثانية تفترض أنه ثانٍ الجزيئي *bimolecular* ومع ذلك، لم يتثن إثبات ذلك. حيث دراسة المتغيرات، كتمك التي درست لتفاعلاته، التحلل المائي الحامضي، أن ميكانيكية التحلل المائي القاعدي تختلف عن ميكانيكية التحلل المائي الحامضي، غير أن النتائج تلقي شكًا على ميكانيكية S_{N}^2 . إن جميع الليكандات المهاجمة، باستثناء OH^- ، لا تستطيع أن تتحدد مباشرةً مع الأيون центрال في محلول المائي. لم يسبق ذلك المجموع أو الاتحاد تكون معقد مائي أولاً.

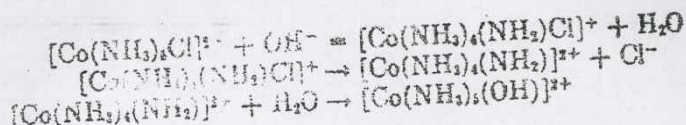


يبدو أن لـ OH^- خواص فريدة تفوق قابلية بقية الليكандات المهاجمة الأخرى، وتمثل هذه القابلية في تفاعله السريع في محلول المائي.

تنضم الميكانيكية المقترنة لتفاعل التحلل المائي القاعدي الخطوات الآتية:

آلية

ـ ـ ـ ـ ـ ـ



تضمن الخطوة الأولى إزاحة أحد البروتونات (من NH_3) بواسطة OH^- في تفاعل سريع هو تفاعل حامض - قاعدة. تؤدي الخطوة الأولى إلى تكون معقد ذي شحنة أوطاً. تتضمن الخطوة الثانية فقدان أيون Cl^- ، وتعد هذه الخطوة هي المقررة لمعدل سرعة التفاعل، رغم أن أيون الكلوريد يفقد فيها أسرع من فقدانه من قبل المركب الأصلي المتفاعله وذلك بسبب تفاعل OH^- السريع جداً مع المركب الأصلي. أو يمكن القول بأن المعقد $[\text{Co}(\text{NH}_3)_4 \text{NH}_2\text{Cl}]^+$ هو أكثر فعالية labile من المركب الأصلي. والخطوة الثالثة والأخيرة هي خطوة سريعة نسبياً تتضمن قيام جزيئة H_2O بوهب أحد بروتوناتها إلى مجموعة NH_2 . وحصلة هذه الخطوة دخول أيون OH^- إلى كرة التناص. يلاحظ أن المركب $[\text{Co}(\text{NH}_3)_4 \text{NH}_2\text{Cl}]^+$ يمثل القاعدة المرادفة للحامض $[\text{Co}(\text{NH}_3)_5\text{Cl}]^{2+}$. يطلق على هذه الميكانيكية اسم ميكانيكية $\text{S}_{\text{N}}^1\text{CB}$ (الحرفان CB) يشيران إلى القاعدة المرادفة Conjugate base. ولكي يكون التفاعل من الدرجة الأولى بالنسبة لأيون OH^- يجب على الخطوة الأولى أن تحصل ولو إلى مدى قليل، أي يجب أن تمثل حالة توازن. قانون معدل السرعة هو

$$\text{Rate} = K[\text{Complex}][\text{base}]$$

معدل السرعة

يمكنا ان نبين ويسهولة أن هذا القانون ينسجم مع ميكانيكية $\text{S}_{\text{N}}^1\text{CB}$ شرط أن تمثل الخطوة الأولى حالة توازن. لدينا من الخطوة الأولى



$$K_h = \frac{1}{[\text{Co}(\text{NH}_3)_5\text{Cl}^{2+}][\text{OH}^-]}$$

K_h هو ثابت التحلل المائي ويساوي Ka/Kw حيث Ka هو ثابت التحلل الحامضي لمجموعة NH_3 .

$$[\text{Co}(\text{NH}_3)_4 \text{NH}_2 \text{Cl}^+] = \text{Ka}/\text{Kw} [\text{Co}(\text{NH}_3)_5 \text{Cl}^{2+}][\text{OH}^-]$$

$$\text{Rate} = K[\text{Co}(\text{NH}_3)_4 \text{NH}_2\text{Cl}^+]$$

$$\text{Rate} = K \frac{K_a}{K_w} [\text{Co}(\text{NH}_3)_5 \text{Cl}^{2+}] [\text{OH}^-]$$

ويصبح جميع الكمية الثابتة في كمية واحدة وهي ثابت معدل سرعة التفاعل k
نحصل على قانون المعدل الآتي

$$\text{Rate} = K [\text{Co}(\text{NH}_3)_5 \text{Cl}^{2+}] [\text{OH}^-]$$

أو بصورة عامة

$$\text{Rate} = K (\text{Complex}) (\text{base})$$

لكي يسهل تخمين حصول ميكانيكية $S_N^1 \text{CB}$ يجب على المركب المتفاعله ان يحتوى
على بروتون ذي درجة معتدلة من الحامضية لكي يستطيع أن يهب هذا البروتون الى
أيون OH^- في الخطوة الاولى، ويسهل بذلك تكوين القاعدة المرادفة. وفي حالة عدم
إحتواء المركب الأصلي المتفاعله على بروتون حامضي يصبح تفاعل OH^- معه بطيئاً
وعندما لا يعتمد معدل السرعة على تركيز OH^- . وهذا ما وجد فعلاً في عملية
التحلل المائي القاعدي للمركبات $[\text{Co}(\text{Py})_4 \text{Cl}_2]^+$, $[\text{Co}(\text{CN})_5 \text{Br}]^3-$, $\text{trans-}[\text{Co}(\text{en})_2 \text{Cl}_2]^+$.

وعلى غرار ما جرى في تفاعلات التحلل المائي الحامضي، يمكننا إجراء
بعض المقارنات حول معدلات سرعة تفاعل بعض المقدادات. يلاحظ أن ثابت معدل
سرعة التحلل المائي القاعدي الملاحظ تجريبياً هو $K \frac{K_a}{K_w}$ ، حيث k هو ثابت
معدل سرعة تحمل القاعدة المرادفة، و K_a هو ثابت التحلل الحامضي لأطلاع
البروتون من قبل الأمونيا أو الجموعات (القادرة على وهب البروتون) المتصلة بأيون
الفيلز المركزي، K_w هو ثابت الماء. ومن هذه العلاقة يعد معدل
سرعة التحلل المائي القاعدي دالة لمتغيرين وهما k_a ، K_w ، بحيث أن أي تبدل في أحد
هذين المتغيرين أو كليهما يؤثر في معدل سرعة التحلل المائي القاعدي. لاحظ على
سبيل المثال، ثابت معدل السرعة

	ثابت معدل السرعة
$[\text{Co}(\text{NH}_3)_5 \text{Cl}^{2+}]$	$0.85 \text{ M}^{-1} \text{ Sec}^{-1}$
$\text{trans-}[\text{Co}(\text{en})_2 \text{Cl}_2]^+$	$85 \text{ M}^{-1} \text{ Sec}^{-1}$

إن محصلة الشحنة على المعدن تؤدي أن المركب الثاني يتحلل مائياً في الوسط القاعدي أسرع من المركب الأول. كما أن إزدياد الكوليبيتية يؤدي إلى إزدياد نسبة K وهذا بدوره يؤدي إلى إزدياد معدل سرعة التحلل المائي القاعدي. وثمة مثال آخر على أهمية التأثير الكوليبيتي في إزدياد معدل سرعة التحلل المائي لاحظ بيانات المعدل المعلقة أدناه

ثابت معدل السرعة

$[\text{Co}(\text{NH}_3)_5\text{Cl}]^{2+}$	$0.85 \text{ M}^{-1}\text{Sec}^{-1}$
Cis- $[\text{Co}(\text{en})_2\text{NH}_3\text{Cl}]^{2+}$	$54 \text{ M}^{-1}\text{Sec}^{-1}$
Cis- $[\text{Co}(\text{trien})\text{NH}_3\text{Cl}]^{2+}$	$160 \text{ M}^{-1}\text{Sec}^{-1}$
Cis- $[\text{Co}(\text{en})_2\text{Cl}_2]^+$	$1000 \text{ M}^{-1}\text{Sec}^{-1}$
Cis- $[\text{Co}(\text{trien})\text{Cl}_2]^+$	$200000 \text{ M}^{-1}\text{Sec}^{-1}$

لاحظ أيضاً معدلات السرعة الآتية

ثابت معدل السرعة

$[\text{Co}(\text{NH}_3)_5\text{F}]^{2+}$	$1.2 \times 10^{-2} \text{ M}^{-1}\text{Sec}^{-1}$
$[\text{Co}(\text{NH}_3)_5\text{Cl}]^{2+}$	$0.85 \text{ M}^{-1}\text{Sec}^{-1}$
$[\text{Co}(\text{NH}_3)_5\text{Br}]^{2+}$	$7.5 \text{ M}^{-1}\text{Sec}^{-1}$
$[\text{Co}(\text{NH}_3)_5\text{I}]^{2+}$	$23 \text{ M}^{-1}\text{Sec}^{-1}$

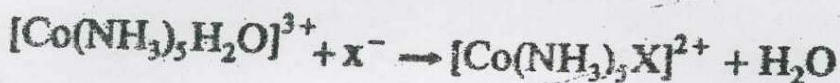
يفسر إزدياد معدل السرعة بازدياد قاعدية المجموعة المغادرة، فـأيون الأيديد كـمجموعة مقادرة أسرع تحللاً من جسم المعدن من أيونات الماليد الأخرى.

إفترضنا في المعدنات السابقة حصول ميكانيكية $S_N^1\text{CB}$ وذلك بسبب احتواء المعدنات المتفاعلة على بروتون حامضي يسهل تكوين القاعدة المرادفة كـ

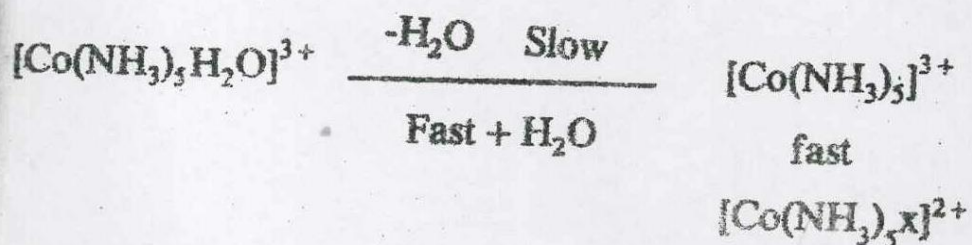
$\text{Sn}^{\text{I}}\text{CB}$ لعدم إحتواء هذا المعقد على بروتون حامضي. ولقد وجد فعلاً أن هذا المعقد يخضع لميكانيكية $\text{S}_{\text{N}}^{\text{II}}$ وتفاعله ثانٍ الجزيئي يتضمن جزءة المعقد نفسه وايون OH^- .

3.5.3 تفاعلات التبادل عن جزءة الماء المتاسبة

لاحظنا في تفاعلات التحلل المائي الحامضي دخول جزءة الماء الى كة التناسق عن طريق إزاحة احدى الليكاندات المتاسبة. والتفاعلات التي ندرسها في هذا الجزء تتضمن إزاحة جزءة جزءة الماء المتاسبة بواسطة ليكاند آخر، وهذه التفاعلات هي بعكس تفاعلات التحلل المائي الحامضي. دلت الدراسات الحركية أن هذه التفاعلات من الدرجة الثانية، حيث أن معدل سرعة التفاعل يعتمد على تركيز المجموعة المهاجحة.

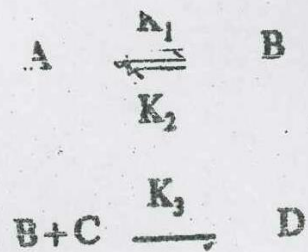


الا اننا لانستطيع من هذه الملاحظات فقط أن نجزم بأن التفاعل ثانٍ الجزيئي. اذ يمكن أن يكون احدى الجزيئي ويخضع لحركية من الدرجة الثانية



وفي الميكانيكية الاخيرة يحصل نوع من التوازن بين المعقد المائي والمعقد الوسطي الخامس التنسق. إن المجموعة المهاجحة X^- في هذه الميكانيكية تتسابق مع جزءة الماء (كمذيب) للاتصال بالمعقد الوسطي. وفي هذه الحالة يعتمد معدل التفاعل على X^- ويخضع الميكانيكية لحركية من الدرجة الثانية. ويمكن لمعدل السرعة أن لا يعتمد على X^- في حالة وجود X^- بتركيز كبير. وعند هذا التركيز الكبير يمكن معدل تكوين المعقد $[\text{Co}(\text{NH}_3)_5\text{X}]^{2+}$ مساوياً لمعدل تكوين المركب الوسطي $[\text{Co}(\text{NH}_3)_5]^{3+}$ وكذلك يساوي معدل تبادل الماء بين المعقد الابتدائي والمذيب. اذا

رمزاً للمعقد الابتدائي بالرمز A وللمعقد الوسطي بالرمز B وللمجموعة المهاجحة بالرمز C وللمركب الناتج من التفاعل بالرمز D، يمكن تمثيل ميكانيكية التفاعل المذكورة أعلاه كما يأتي



يعطى معدل تكون B بواسطة المعادلة

$$d[B]/dt = K_1 [A] - K_2 [B] - K_3 [C][B]$$

نفرض ترسيب الحالة المستمرة Steady - State approximation . ومحض هذا الافتراض يعد الفصيل B هو المركب الوسطي النشط وإن تركيزه خلال التفاعل صغير وبقى ثابتاً، بحيث يمكن افتراض $d[B]/dt=0$. وهذا الترسيب تتحدد المعادلة الأخيرة الصيغة

$$[B] = K_1 [A]/K_2 + K_3 [C]$$

معدل سرعة تكون الناتج النهائي D يعطى بواسطة المعادلة

$$d[D]/dt = K_3 [B][C]$$

وبالتعريض عن (B) في المعادلة الأخيرة نحصل على

$$d[D]/dt = K_1 K_3 [A][C]/K_2 + K_3 [C]$$

نحصل من هذه المعادلة على حالتين حديتين. الحالة الحدية الأولى عندما $K_2 \gg K_3[C]$ وهنا تؤول المعادلة إلى

$$\frac{d[D]}{dt} = \frac{K_1 K_3}{K_2} \frac{[A][C]}{[A][C]}$$

ويتحقق عند هذا الشرط حركة من الدرجة الثانية، تبين اعتقاد معدل السرعة على كل من المركب المتفاعل الابتدائي والمجموعة المهاجمة. الحالة الحدية الثانية عندما $K_2 \gg [C]$ ، وهنا تؤول المعادلة إلى

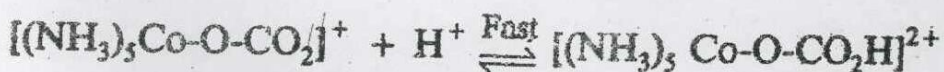
$$\frac{d[D]}{dt} = K_1 [A]$$

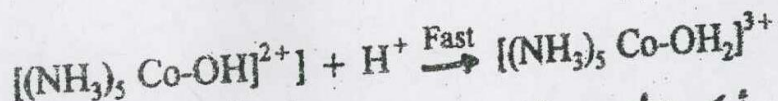
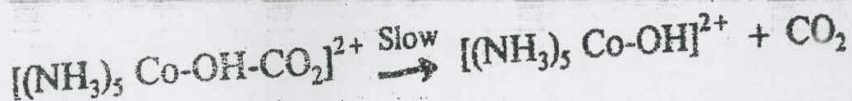
و عند هذا الشرط تتحقق حركة من الدرجة الأولى ممثلة بيكانيكية S^{NI} ، لا يعتمد معدل السرعة فيها على تركيز المجموعة المهاجمة. و عند هذا الشرط أيضاً يصبح K_1 متساوياً إلى ثابت معدل سرعة التحلل المائي للمعقد.

على الرغم من أن الحالة الحدية الثانية تحمل ميكانيكية S^{NI} ، الا ان محاولات إخضاع هذه التفاعلات على الدوام لهذه الميكانيكية لم تنجح وذلك بسبب المقدادات الناجمة عن كون كل من المركب المتفاعل والمجموعة المهاجمة مشحونة وكلاهما حساس البيئة التي يتواصلا فيها و بتغير آخر، اذا أرد للتفاعل أن يكون من الدرجة الأولى يجب استعمال تركيز عال للهجنة X^- او استعمال تركيز إجمالي عال. إن هذه التغييرات تسبب تغيرات في معاملات الفعالية خلال سير التفاعل تسهل السيطرة وتؤثر بالدورها في ميكانيكية التفاعل.

45-3 تفاعلات التعريض بدون كسر آصرة فلز - ليكايد

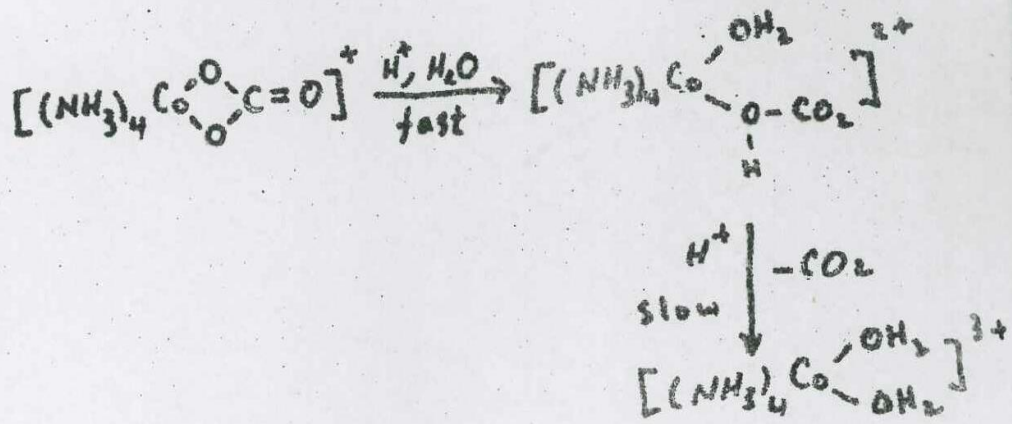
إن تفاعلات التعريض التي درسناها حتى الآن تتضمن كسر آصرة فلز - ليكايد مغادرة. وإضافة إلى ذلك، درست تفاعلات أخرى لا تتضمن كسر هذه الآصرة. يمكن في محلول الحامضي تحويل معقد الكربونات $[Co(NH_3)_5CO_3]^{+}$ إلى المعقد المائي $[Co(NH_3)_5H_2O]^{3+}$ أو تحويل المعقد إلى $[Co(NH_3)_4CO_3]^{+}$ إلى $[Co(NH_3)_4(H_2O)_2]^{3+}$ دون أن تكسر آصرة Co-O. يتضمن التفاعل إفتراضياً برقة ذرة الأوكسجين المتصلة بالكوبالت، يليها إزالة جزيئة CO_2





يمكن التأكيد من أن جزيء H_2O المتصلة بالكوبالت لم تأت من المذيب وذلك باستعمال الماء المحتوي على O^{18} وكان ناتج التفاعل خالياً من هذا الوكسجين. وهذه الملاحظة أيضاً تؤيد عدم كسر آصرة Co-O .

تجرى عملية تحويل $[(\text{NH}_3)_5 \text{Co-OH}_2]^{3+}$ إلى $[\text{Co}(\text{NH}_3)_4 \text{CO}_3]^{2+}$ بطريقة مماثلة، غير أن إحدى جزيئات H_2O في المركب الناتج يكون مصدرها المذيب. وفي هذا المركب توجد مجموعة الكربونات بمثابة ليكанд ثنائية السن. تتضمن الخطوة الأولى كسر أحد موقعي اتصال مجموعة الكربونات بواسطة جزيء H_2O . وتتضمن الخطوة الثانية إزالة CO_2 دون تسرّع آصرة Co-O المنشورة.



Oxidation - Reduction Reactions

(٤) تفاعلات تأكسد - إختزال

يقترب تفاعل تأكسد - إختزال عادة بانتقال الألكترونات مباشرةً من العامل المختزل إلى العامل المؤكسد. ليس من الضروري أن يكون الأمر كذلك على الدوام. إذ أن بعض تفاعلات تأكسد - إختزال يتضمن انتقال ذرة أو مجموعة من الذرات. ولكل نوع من هذه التفاعلات ضروفه الخاصة. تفاعلات الانتقال الألكتروني المباشر، كما سترى، قد تكون سريعة في بعض الحالات وبطيئة في حالات أخرى. وفي هذه التفاعلات تحصل عملية تأكسد - إختزال من خارج كرت

تناسق المادتين المتفاعلين. أما التفاعلات التي تتضمن إنتقال ذرة أو مجموعة من الذرات فتحصل من خلال تكوين مركبات وسطية.

إن أبسط أنواع تفاعلات تأكسد — إختزال يتضمن فقط إنتقال الالكترونات بين $[Fe(CN)_6]^{4-}$ مثلاً و $[Fe(CN)_6]^{3-}$ أو بين MnO_4^- أو $[IrCl_6]^{3-}$ ، $[IrCl_6]^{2-}$. يدرس معدل سرعة هذه التفاعلات بواسطة الاقفاء النظائي، كما في تفاعل MnO_4^- مع MnO_4^- . أو بواسطة قياس مقدار الخسارة في النشاط الضوئي، كما في تفاعل $[Os(dipy)_3]^{2+}$ مع $[Os(dipy)_3]^{3+}$.

1-6-3 تفاعلات خارج كمة التناقض (Outer-Sphere Reactions)

تكون تفاعلات التبادل الالكتروني سريعة بين مركبين مثل $[Fe(CN)_6]^{4-}$ و $[Fe(CN)_6]^{3-}$. والمركبات التي تؤدي هذه التفاعلات السريعة تتصف بكونها ذات بنى هندسية مشابهة وأطوال الأصوات فيها متساوية تقريباً (وفي هذا المثال طول آصرة Fe-C في المركب الأول 1.95 \AA وفي المركب الثاني 1.92 \AA) وإنها ذات برم واطيء وخفيفة نحو تفاعلات التعويض. يختلف المركبات المتفاعلةان يكون أحدهما وهو العامل المخترل يحتوى على الكترون واحد في أوربيات π زاده عما يحتويه العامل المؤكسد. يحصل الانتقال الالكتروني عبر نفق أو ما يسمى ميكانيكية خارج كمة التناقض. تتطلب هذه التفاعلات كمية من طاقة التشغيل لغرض التغلب على التأثير الكهروستاتيكي الناشيء بين الشحنات المشابهة ولغرض جعل أطوال الأوصير متساوية في حالة الانتقال ولغرض التغلب على عائق التحذف المحيط بكل مركب متفاعله.

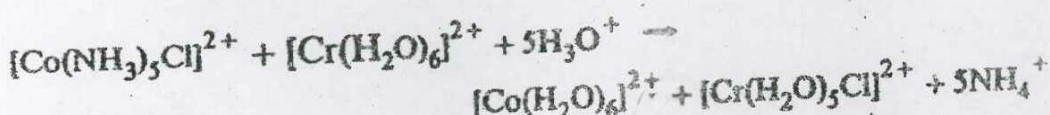
وتكون تفاعلات التبادل الالكتروني بطبيعة نسبياً بين مركبين مثل $[Co(NH_3)_6]^{3+}$ ، $[Co(NH_3)_6]^{2+}$ (العامل المؤكسد) والآخر ذا برم عال (العامل المخترل). وبعبارة أخرى، يكون أحد المركبين المتفاعلين خاملاً نحو التعويض والآخر فعالاً. إن أطوال الأصوات تختلف كثيراً بين المركبين المتفاعلين (وفي هذا المثال طول آصرة N-Co-N في العامل المخترل 2.11 \AA وفي العامل المؤكسد 1.96 \AA). تتطلب هذه التفاعلات طاقة تشغيل عالية نسبياً للأغراض التي ذكرناها أعلاه وكذلك لإعادة الترتيب الالكتروني (وفي

هذا المثال، من Fe^{2+} للعامل المؤكسد إلى Fe^{3+} وبالعكس بالنسبة للعامل المختزل).

يمكن لتفاعلات خارج كثرة التناست أن تحصل بين مركبين لفلزين مختلفين، أو بين مركبين مختلفين لنفس الفلز. وهذه التفاعلات سريعة جداً وتتطلب طاقة تشيسط واطلاقاً نسبياً. ومن أمثلة المركبات التي تعطي هذه التفاعلات المركبان $[\text{Fe}(\text{Phen})_3]^{3+}$ ، $[\text{Fe}(\text{CN})_6]^{4-}$ ، $[\text{IrCl}_6]^{2-}$.

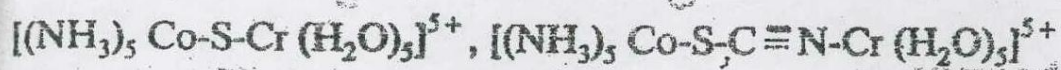
2-6-3 تفاعلات داخل كثرة التناست (Inner-Sphere Reactions)

يتضمن بعض تفاعلات تأكسد - اختزال ذرة أو مجموعة من الذرات مشتركة بين العامل المؤكسد والعامل المختزل يحصل من خلالها إنتقال الالكترونات. تقوم هذه الذرة أو مجموعة الذرات بتكون جسر بين العامل المختزل والعامل المؤكسد بسهولة إنتقال الالكترونات. ونتيجة للتفاعل المعاكس يتنتقل هذا الجسر من أيون فلز إلى أيون فلز آخر. تسمى ميكانيكية هذه التفاعلات بـميكانيكية داخل كثرة التناست. يعني أن يكون العامل المختزل فعالاً labile والعامل المؤكسد خاماً inert. يتفاعل المركب $[\text{Co}(\text{NH}_3)_5\text{Cl}]^{2+}$ (وهو مركب خامل ذو برم واطيء t_{2g}^6) كعامل مؤكسد مع المركب $[\text{Cr}(\text{H}_2\text{O})_6]^{2+}$ (وهو مركب فعال ذو برم عال t_{2g}^4) كعامل مختزل في الحمضي الحامضي وفقاً للمعادلة



إن مركب الكوبالت الناتج ذو برم عال وهو فعال. أما مركب الكروم الناتج فهو مركب خامل. دلت تجارب الاقتباء النظائرى أن أيون الكلوريد الذى يحصل بالكلروم كان في الأصل متصلًا بالكوبالت وقد إنطلق إلى الكروم من خلال حالة الانتقال التي يشكل أيون الكلوريد فيها جسراً بين أيوني الفلزين $[\text{O}(\text{H}_2\text{O})_6\text{Co}-\text{Cl}-\text{Cr}(\text{H}_2\text{O})_6]$. وأنباء بـ عملية الانتقال يقوم الجسر بـ تأكسدة الكروم من حالة التأكسد $+2$ إلى حالة التأكسد $+3$ ، وبذا يختزل الكوبالت من حالة التأكسد $+3$ إلى حالة التأكسد $+2$. يلاحظ أن التبادل الالكترونى بين المركبين $[\text{Cr}(\text{H}_2\text{O})_6]^{2+}$ ، $[\text{Cr}(\text{H}_2\text{O})_6]^{3+}$ يعطى جداً غير أن التبادل الالكترونى بين المركبين

Cl⁻, [Cr(H₂O)₅Cl]²⁺, [Cr(H₂O)₆]²⁺ سريع جداً. وسبب ذلك هو أن Cl⁻ يستطيع أن يكون معقداً جسرياً (لاتتوفر هذه الصفة في جزيئة H₂O أو أن المعد الجسري الذي تكونه ضعيف) وهي مسلطاً ذا طاقة واطئة لانتقال الالكترون من العامل المختزل إلى العامل المؤكسد بقابلة انتقال المجموعة الجسرية من العامل المؤكسد إلى العامل المختزل. في التفاعل بين المركبين, [Co(NH₃)₅(SCN)]²⁺ [Cr(H₂O)₆]²⁺ تنتقل المجموعة الجسرية SCN من خلال المركب الجسري الذي يتخذ إحدى الصيغتين



3-5-8 التفاعلات التكميلية والتفاعلات غير التكميلية

(Complementary and Non-Complementary Reactions)

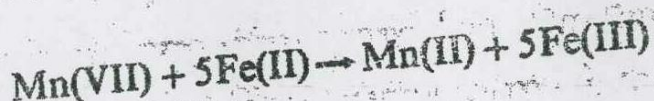
إن تفاعلات تأكسد — إنحراف التي درسناها لحد الان تتضمن تفاعل جزئي واحد من العامل المختزل مع جزئي واحد من العامل المؤكسد، أو تتضمن تبدل حالة التأكسد لكل من العامل المختزل والعامل المؤكسد بمقدار متساوٍ. تتضمن هذه التفاعلات بالتفاعلات التكميلية Complementary Reactions. وعندما تتغير حالات تأكسد العامل المختزل والعامل المؤكسد بعد غير متساوٍ من الوحدات، وجب أن يشتراك العامل المختزل والعامل المؤكسد بعد غير متساوٍ من الجزيئات في معادلة التفاعل. تسمى هذه التفاعلات بالتفاعلات غير التكميلية noncomplementary reactions. ومن أمثلة هذه التفاعلات



وهذا تفاعل يتضمن عاملًا مؤكسداً يتغير بمقدار وزن مكافئ واحداً، وعاملًا مختزلًا يتغير بمقدار وزنين مكافعين.

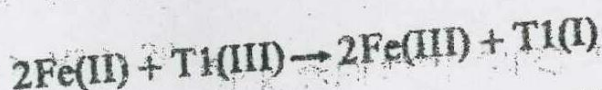


وهذا تفاعل يتضمن عاملًا مؤكسداً يتغير بمقدار وزنين مكافئين، وعاملًا مختزلًا يتغير بمقدار وزن مكافئ واحد.

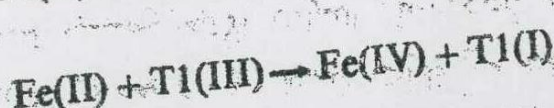
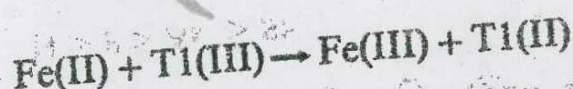


وهذا تفاعل يتضمن عاملًا مؤكسداً يتغير بمقدار النسبة أوزان مكافئة، وعاملًا مختزلًا يتغير بمقدار وزن مكافئ واحد.

وعاً أن التفاعلات الثلاثية المجزي أو التي تزيد عن ذلك غير محتملة أو معقدة الحصول، فإن التفاعلات غير التكميلية تحصل بمراحل قد تتضمن أحياناً حالات تأكسد وسطية غير مألوفة وغير مستقرة. فعل سبيل المثال، عندما يقوم Sn(II) باختزال Mn(VII) أو Cr(VI) يحصل تكون حالة التأكسد الوسطية Sn(III) غير المستقرة وهذه بدورها تؤدي عملية الاختزال. يضاف أحياناً أيون فلزي آخر يسلك كعامل مؤكسد يؤدي مهمة التأكسد أو الاختزال. فعل سبيل المثال، لا يستطيع محلول ثانوي كرومات Cr(VI) الحامضي أن يؤكسد Mn(II) ، غير أن وجود Mn(II) يؤدي إلى تكون MnO_2 . وهذه دالة على تكون حالات تأكسد وسطية للكروم مثل Cr(V) أو Cr(IV) . وكذلك، يضاف Fe(II) كعامل مساعد في عملية أكسدة أيون اليوديد بواسطة Cr(VI) في محلول الحامضي في التفاعل



للحظ أنه ينبع حرارة من الدرجة الثانية، أي ان العدل من الدرجة الأولى بالنسبة لكل من الأيونين المتفاعلين. حالة التأكسد الوسطية هي إما Tl(II) أو Fe(IV)



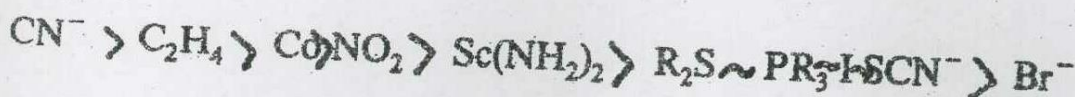
للحظ أن إضافة مزيد من Fe(II) وليس Tl(I) يؤدي إلى حفظ معدل سرعة التفاعل، ومن هذه الملاحظة نستنتج أن حالة التأكسد الوسطية لهذا التفاعل يجب أن تكون Tl(II) .

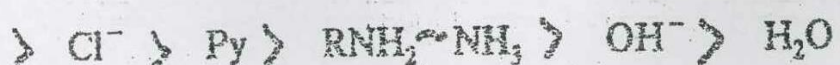
7-8 تفاعلات التعويض في مقدادات المربع المستوّي

يصعب في بعض الأحيان تحديد مدى مساهمة المذيب في تفاعلات التعويض التي تحصل في المقدادات الثانوية السطوح. والأمر كذلك في مقدادات المربع المستوّي، حيث تزداد فرص التأثير بين المذيب والآيون المركزي وذلك بسبب كون ذرة المركزي غير ممحوجة لدرجة كافية من الموقعين الكائنين فوق وتحت مستوى جزيئه المعدّ من الأسلم والحالة هذه أن لا يفترض حصول تفاعلات التعويض في مقدادات المربع المستوّي بواسطة ميكانيكية S^{NI} لأنها تتطلب مركباً وسطياً ثلاؤ التناسق.

وفي العادة تم دراسة تفاعلات التعويض في مقدادات المربع المستوّي بواسطة ما يسمى تأثير ترانز *trans effect*. إن المقدادات التي تتفاعل بهذه الطريقة تحتوي عادة على ذرة مركبة ذات مجال عمالي ويسهل تشويه الكثافة الالكترونية فيها. وتحتوي أيضاً على مجموعة متاسقة تدفع الالكترونات نحو الذرة المركبة. وهذه المجموعة في عملها تعد أكثر فعالية من الجزيئات المتعادلة ذات الاستقطابية الواطنة مثل جزيئ H_2O . تمثل هذه المجموعة بعض الآيونات السالبة والمجموعات التي يسهل استقطابها. إن شرط الذرة المركبة المذكور أعلاه يتوفر في آيون $Pd(II)$ ، $Pt(II)$ وأيونات فلزية قليلة أخرى. ولهذا السبب نالت مركبات البلاتين والبلاديوم دراسة واسعة بطريقة تأثير ترانز.

يشير مفهوم تأثير ترانز إلى آيون فعالية ليكايند معينة A في مركب معدّ نعمد إلى حد كبير على طبيعة المجموعة المتاسقة في الموقع ترانز بالنسبة للليكايند A. والقصد بالفعالية هنا هو سهولة إستبدال الليكايند A بليكايند واهية أخرى. وبصورة عامة، تمتلك جذور الحواضن (آيونات سالبة) والليكايندات المتعادلة التي يسهل استقطابها تأثير ترانز أقوى بكثير من هذا التأثير الذي يعزى لجزيء الماء أو لجزيء الأمونيا. وهكذا فإن ليكايند تقع في الموقع ترانز بالنسبة لآيون Cl^- أو Br^- تعد أكثر فعالية (أسهل إستبدالاً) من ليكايند تقع في الموقع ترانز بالنسبة لجزيء متعادلة مثل جزيئ H_2O . يمكن ترتيب الليكايندات حسب قابليتها لتجربة الليكايندات المهاجمة إلى الموقع ترانز، وهذا الترتيب بصورة تقريرية هو



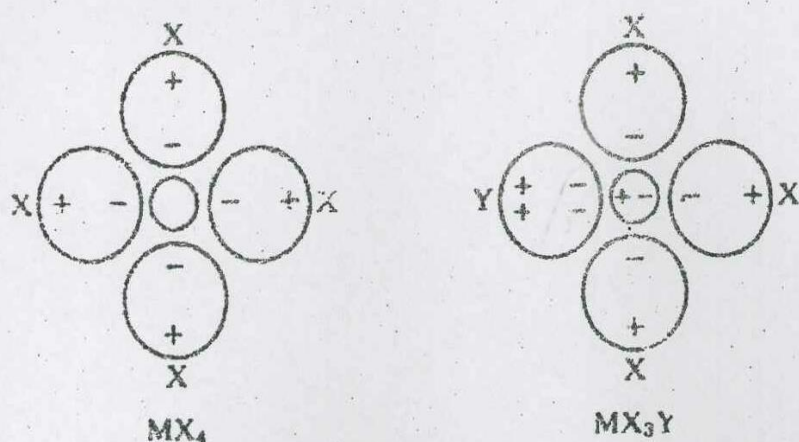


ينسجم هذا التسلسل إلى حد كبير مع تسلسل قابلية استقطاب الميكاندان المذكورة في هذه السلسلة.

تم اقتراح عدد من النظريات لتفسير تأثير ترازز. وهنا نشرح نظريتين تقدم إحداها معالجة مختلفة عن النظرية الأخرى. تبني النظرية الأولى وهي نظرية الاستقطاب على معالجة ثرمودينميكية، وتبني النظرية الثانية وهي نظرية التأثر II على معالجة حركية.

1-7-8 نظرية الاستقطاب (Polarization Theory)

في المعقد MX_3Y ، إذا كان الميكاند Y قابلية استقطاب أعلى من قابلية استقطاب X تتوقع أن تقوم ليكاند Y بحرف عن ثانٍ القطب المحت K كما مبين في الشكل 1-8. وبعبارة أخرى، يحصل استقطاب متبادل بين ليكاند Y وأيون الفلز المركزي. يؤدي هذا الاستقطاب المتبادل إلى اختزال شحنة الفلز الموجبة في الموقع المقابل مباشرة موقع ليكاند Y. ونتيجة لهذا التأثير هو إضعاف للاصرة M-X المقابلة للاصرة M-Y ، وهذا التأثير يزيد من فعالية X ويجعلها سريعة الاستبدال بواسطة ليكاند مهاجمة أخرى.



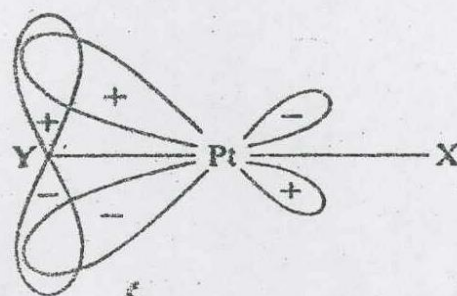
الشكل 1-8: ثانٍ القطب غير المعاشر المحت في جزيء MX_3Y مقارنة بالجزيء المعاشر MX_4

يلاحظ في الشكل 2-8 أن جزيئه MX_4 متناظرة، أي أن الذرة المركزية محاطة بمجال متناظر وأن جميع حزم ثلثي القطب المختشة في الأيون المركزي يلغى بعضها بعضاً.

إن تسلسل إزدياد تأثير ترانز لآيونات الماليد هو نفس تسلسل إزدياد قابلية استقطاب هذه الآيونات $. I^- > Br^- > Cl^- > F^-$

2-7-8 نظرية التأثر π

إن تأثير ترانز القوي للبيكالنات مثل C_2H_4 , CO , CN^- يلقي ضوءاً على أهمية التأثر π في توجيه البيكالنات المهاجمة. إن بيكالنات كالمذكورة أعلاه تمتلك أورباناً شاغراً من نوع $d_{3z^2}P_{3g}$ قابلاً لاستيعاب الكترونات تأتيه من أحد أورباتي الفلز X_{x2} أو Y_{z2} المماثلين (لاحظ الشكل 2-8).



الشكل 2-8 تكون آصرة $d_{3z^2}P_{3g}$ بين Pt والبيكالند Y في المعد PtA_2XY

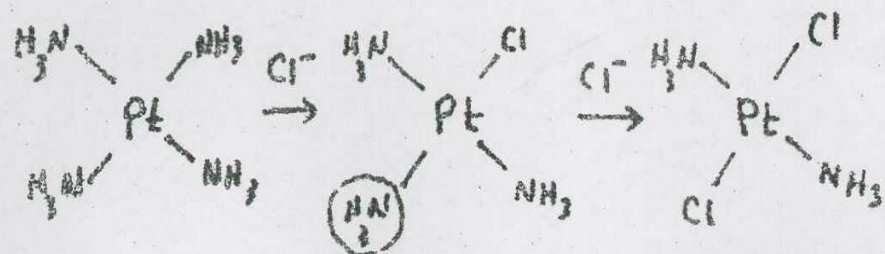
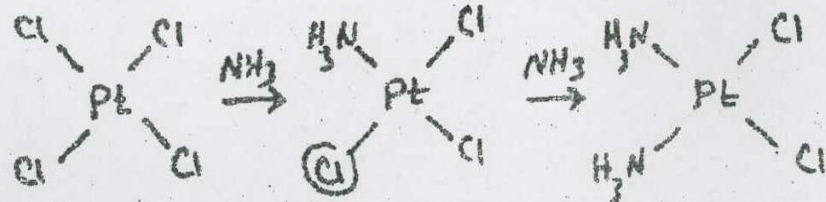
إن تكون آصرة π يزيد الكثافة الالكترونية باتجاه Y ويقلل الكثافة الالكترونية في الاتجاه المقابل (أي في آصرة $M-X$). وطبعاً إن المجموعة النيوكليفيلية المهاجمة تقترب من خلال الموقع ذي الكثافة الالكترونية الواطئة، وهذا مما يعمّ على سهولة إستبدال مجموعة X المقابلة لمجموعة Y . وليس بالضرورة أن يقوم التأثر π باضعاف الآصرة $M-X$ ، غير أنه يخض من طاقة التشغيل الالزمه لتكوين حالة إنتقال خماسية التناست (لاحظ أن التأثر π يجد ميكانيكا S^{N2})



3-7-8 إسعمالات تأثير ترانز

أثبت تأثير ترانز أهمية في مجال تخليق عدد كبير من مركبات البلاتين والبلاديوم وكذلك في تخليق بعض مركبات الكوبالت والكروم والروديوم والأيريديوم.

المثال التقليدي لتطبيقات تأثير ترانز، يتضمن تحضير أيسوموري المركب $\text{Pt}(\text{NH}_3)_2\text{Cl}_2$. عند معاملة PtCl_4^{2-} مع NH_3 يستبدل أحد أيونات Cl^- معيطياً المركب $[\text{Pt}(\text{NH}_3)_2\text{Cl}_2]$ وعند معاملة المركب الأخير مع جزيئة NH_3 أخرى يتكون الإيسomer $[\text{Pt}(\text{NH}_3)_4]^{2+}$. وعند معاملة $[\text{Pt}(\text{NH}_3)_4]^{2+}$ مع أيون Cl^- تزاح إحدى جزيئات NH_3 (المركب الناتج هو $[\text{Pt}(\text{NH}_3)_3\text{Cl}]^+$). وعند معاملة المركب الأخير مع أيون Cl^- آخر، تزاح جزيئه الأمونيا الموجودة في الموقع ترانز بالنسبة لايون Cl^- الأول. وهكذا تؤدي عملية التعويض إلى الحصول على المركب $\text{trans-}[\text{Pt}(\text{NH}_3)_2\text{Cl}_2]$. إن خطوات التفاعلات المذكورة أعلاه نوضحها أدناه (المجموعة التي تستبدل محاطة بدائرة).



يعتمد ناتج تفاعل المجموعتين NO_2^- , NH_3 مع المركب PtCl_4^{2-} على أي من هاتين المجموعتين يتفاعل أولاً. ومن معرفة القوة النسية لتأثير ترانز يمكن تخمين نواتج التفاعلات الآتية

